

รหัสโครงการ SUT7-708-55-12-66

รายงานการวิจัย

ชุดโครงการวิจัย

การพัฒนาแหล่งเกลือหินสำหรับกักเก็บของเสีย

จากภาคอุตสาหกรรมในระยะยาว

(Long-Term Storage of Industrial Wastes in Rock Salt)

โครงการวิจัยย่อย

การขึ้นรูปกระเบื้องเซรามิกชนิดทนกรดเกลือ

สำหรับการใช้งานที่อุณหภูมิสูง

(Fabrication of Salt Acid-resistant Ceramic Tile
for High Temperature Application)

คณะกรรมการวิจัย

ผู้อำนวยการชุดโครงการวิจัย

รองศาสตราจารย์ ดร. กิตติเทพ เพื่องขาว

สาขาวิชาเทคโนโลยีชีวะ

สำนักวิชาศึกษาและนวัตกรรมศาสตร์

หัวหน้าโครงการวิจัยย่อย

ผู้ช่วยศาสตราจารย์ ดร. สุขเกษม กังวนตระกูล

สาขาวิชาศึกษาและนวัตกรรมเชิงวิศวกรรม

สำนักวิชาศึกษาและนวัตกรรมศาสตร์

ได้รับทุนอุดหนุนการวิจัยจากมหาวิทยาลัยเทคโนโลยีสุรนารี ปีงบประมาณ พ.ศ. 2555

ผลงานวิจัยเป็นความรับผิดชอบของหัวหน้าโครงการวิจัยแต่เพียงผู้เดียว

มิถุนายน 2556



กิตติกรรมประกาศ

งานวิจัยนี้ประสบความสำเร็จลุล่วงด้วยดีโดยได้รับทุนอุดหนุนการวิจัยจากมหาวิทยาลัยเทคโนโลยีสุรนารี ปีงบประมาณ 2555 ผู้วิจัยขอขอบคุณ ผู้ช่วยวิจัย และขอขอบคุณเจ้าหน้าที่ประจำศูนย์เครื่องมือวิทยาศาสตร์และเทคโนโลยี มหาวิทยาลัยเทคโนโลยีสุรนารี ที่ให้ความช่วยเหลือตลอดจนอำนวยความสะดวกในการใช้เครื่องมือต่างๆ จนผู้วิจัยสามารถดำเนินการวิจัยจนสำเร็จลุล่วงได้ด้วยดี

(ผศ.ดร.สุขเกษม กังวานตระกูล)

ผู้วิจัย



บทคัดย่อ

งานวิจัยนี้ได้นำการปรับปรุงสมบัติทางด้านเคมีของกระเบื้องเซรามิกสำหรับการใช้งานที่อุณหภูมิสูง โดยใช้วัสดุเคลือบที่มีส่วนผสมของ CaO , ZrO_2 และ SiO_2 หรือเรียกว่า เคลือบ CSZ เพื่อใช้เป็นวัสดุในการก่อสร้างผนังของโรงรับประทานเพื่อเป็นตัวสัมผัสกับสภาพความเป็นกรดของชั้นเกลือหิน เนื่องจากเคลือบชนิดนี้มีความทนต่อการกัดกร่อนทางเคมีสูง มีความแข็งแรงเชิงกลสูง และมีสมบัติทนต่อความร้อนได้ดี ซึ่งจะแตกต่างจากกระเบื้องเซรามิกเคลือบที่มีเชิงกันอยู่ทั่วไปในปัจจุบันในรูปแบบของกระเบื้องปูพื้น-ปูผนัง สำหรับบ้านหรืออาคารต่างๆ ใน การทดลองจะใช้ส่วนผสมของสารเคลือบกระเบื้องที่ประกอบด้วย SiO_2 ปริมาณร้อยละ 53 โดยฐานนัก CaO ปริมาณร้อยละ 31-35 โดยฐานนัก และ ZrO_2 ปริมาณร้อยละ 12-16 โดยฐานนัก เป็นวัตถุคุณิตตั้งต้น แล้วทำการหลอมส่วนผสมทั้งหมดที่อุณหภูมิ 1500°C โดยใช้เบ้าหลอม Platinum Crucible จากนั้นทำให้เย็นตัวอย่างรวดเร็วด้วยการเทญากลางในญาก (Quenching) เพื่อให้ได้ฟริต (Frits) และบดให้ได้อนุภาคที่ละเอียดสำหรับนำไปเคลือบบนผิวของกระเบื้อง แล้วนำผงฟริตที่ได้ไปวิเคราะห์หัววิญญาณด้วยเครื่อง XRD ตรวจสอบการเกิดปฏิกิริยาที่อุณหภูมิต่างๆ ด้วยเครื่อง DTA นำขั้นงานกระเบื้องที่ผ่านการเผาเคลือบมาทดสอบความทนทานต่อการกัดกร่อนของกรดเกลือภายในตัวอุณหภูมิสูง ด้วยการแซนด์บลัสต์ในสารละลายญากที่มีส่วนผสมของโซเดียมคลอไรด์ความเข้มข้นร้อยละ 5 โดยฐานนัก (เกลือ 5 ส่วน และญากลันน์ 95 ส่วน) เป็นเวลา 6 ชั่วโมง ที่อุณหภูมิ 120 องศาเซลเซียส โดยทำการควบคุมค่าความเป็นกรด (pH) ของสารละลายญากโดยประมาณ 6.5-7.5 หลังจากครบเวลา 6 ชั่วโมง ทำการซั่นญากก่อน-หลังการทดสอบเพื่อหาญากที่หายไป แล้วนำขั้นงานที่ผ่านการทดสอบไปตรวจสอบโครงสร้างจุลภาคของผิวเคลือบด้วยกล้อง SEM ทั้งก่อนและหลังการทดสอบการกัดกร่อนภายใต้อุณหภูมิสูงเพื่อเปรียบเทียบความแตกต่าง

ผลการทดลองพบว่าเมื่อเติม CaO ลงในเนื้อเคลือบที่มีองค์ประกอบของ SiO_2 เป็นหลักจะสามารถทนต่อการกัดกร่อนจากกรดได้ แต่ยังไงก็ตามหากมีการเติม ZrO_2 ในปริมาณที่ไม่เกินร้อยละ 14 โดยฐานนัก จะสามารถทำให้ต้านทานการกร่อนจากกรดเพิ่มขึ้น เมื่อจาก CaO , ZrO_2 และ SiO_2 จะทำให้เกิดสารประกอบใหม่ในเคลือบ ได้แก่ Wollastonite (CaSiO_3) และ Calcium zirconium silicate ($\text{Ca}_2\text{ZrSi}_{12}$, $\text{Ca}_3\text{ZrSi}_2\text{O}_9$, $\text{CaZrSi}_2\text{O}_9$ และ $\text{Ca}_{1.2}\text{Si}_{4.3}\text{Zr}_{0.2}\text{O}_8$) ในระบบ $\text{CaO-ZrO}_2-\text{SiO}_2$ system แต่ถ้ามีปริมาณ CaO มากเกินไป จะทำให้เคลือบจะเดือดเป็นพองได้ง่ายทำให้เกิดรูพรุน เมื่อทำการทดสอบความต้านทานต่อการกัดกร่อนจากกรดที่อุณหภูมิ 120 องศา พบร่วมกับส่วนผสมของเคลือบที่มี ZrO_2 ในปริมาณ 14 ร้อยละโดยฐานนัก จะมีความต้านทานต่อการกัดกร่อนจากการได้ดีที่สุด เมื่อเปรียบเทียบส่วนผสมอื่นๆ เนื่องจากปริมาณของเฟส Wollastonite เกิดขึ้นจำนวนมาก และมีค่าญากที่หายไปหลังทดสอบการทนกรดที่อุณหภูมิต่างๆ น้อยที่สุด คือ มีค่าเพียง 0.20 ร้อยละโดยฐานนัก ซึ่งหมายความสำหรับทำกระเบื้องเซรามิกชนิดหนึ่งที่ได้การใช้งานที่มีความร้อนเพื่อป้องกันการร้าวของสารในชั้นเกลือหิน

Abstract

In this research has been focused on the improvement of chemical properties of the ceramic tile by using the mixture of CaO, ZrO₂ and SiO₂ as CZS glaze material due to their possess high corrosion resistance and high strength. The glaze compositions were contained 53 wt% SiO₂ wt%, 31-35 wt% of CaO and 12-16% of ZrO₂. Then the mixtures were melted at 1500°C by using platinum crucible and quenched in the water to obtain frit and ground as glaze powder materials. The various compositions of frit powder were analyzed phase composition by XRD, chemical reaction by DTA. Then fired ceramic tiles was analyzed the corrosion resistant by testing in the 5vol% NaCl solution with 95 vol% distillation water under the temperature of 120°C for 6 hours. The glaze surface morphology of the as-received tile was observed by using a scanning electron microscope (SEM).

The results showed that the addition of CaO in the SiO₂ composition it could be enhance the corrosion resistant. However, with the addition of 12-14 wt% ZrO₂ in to the CaO-SiO₂ glaze mixture, the corrosion resistant was increased in comparison with ordinary CaO-SiO₂ glaze. This is because CaO, ZrO₂ and SiO₂ compound could be generate the new phase such as Wollastonite (CaSiO₃) and Calcium zirconium silicate (Ca₂ZrSi₁₂, Ca₃ZrSi₂O₉, CaZrSi₂O₉ and Ca_{1.2}Si_{4.3}Zr_{0.2}O₈) in the system CaO-ZrO₂-SiO₂ system. Nevertheless, the excess amount of CaO was produced many pore in the glaze matrix. As the result from the corrosion test at the temperature of 120°C, with highest corrosion resistant and lowest weight loss of 0.20% was obtained from the mixture with 14wt% ZrO₂ consists the large amount of Wollastonite phase which is suitable for acid-resistant ceramic tiles to protect engineering structures in rock salt under high temperature condition.

สารบัญ

| | |
|-------------------------------------------------|----|
| หน้า | |
| กิตติกรรมประกาศ | ก |
| บทคัดย่อ (ภาษาไทย) | ข |
| บทคัดย่อ (ภาษาอังกฤษ) | ค |
| สารบัญ | ง |
| สารบัญตาราง | จ |
| สารบัญรูป | ฉ |
| บทที่ 1 บทนำ | 1 |
| บทที่ 2 ปริพัฒน์วรรณกรรมผลงานวิจัยที่เกี่ยวข้อง | 5 |
| บทที่ 3 วิธีดำเนินการวิจัย | 9 |
| บทที่ 4 ผลการทดลอง และวิเคราะห์ผลการทดลอง | 15 |
| บทที่ 5 สรุปผลการทดลอง | 29 |
| เอกสารอ้างอิง | 30 |

สารบัญตาราง

หน้า

| | |
|--------------------------------------------------------------------------------------------------|----|
| ตารางที่ 3.1 อัตราส่วนผสมของสารตั้งต้นสำหรับเคลือบผิวกระเบื้องเซรามิก | 10 |
| ตารางที่ 3.2 แสดงส่วนผสมของผู้เคลือบสำหรับนำไปเคลือบผิวกระเบื้อง | 11 |
| ตารางที่ 4.1 แสดงอุณหภูมิการเกิดปฏิกิริยาจากการวิเคราะห์ด้วย Differential thermal analysis (DTA) | 18 |
| ตารางที่ 4.2 ผู้หนักที่หายไปก่อนทำการทดสอบ และ หลังทำการทดสอบที่อุณหภูมิ 120 องศาเซลเซียส | 27 |

สารบัญรูป

หน้า

| | |
|-------------------------------------------------------------------------------------------------------------------------------------------------------------------------------------------------------------------------|----|
| รูปที่ 1.1 แสดงให้เห็นถึงภายในของโครงเกลือซึ่งเกิดจากหลุมยุบตามธรรมชาติของบ่อเกลือ | 2 |
| รูปที่ 1.2 แผนภูมิสมดุลวัฏภาก (Phase diagram of the $\text{CaO-ZrO}_2\text{-SiO}_2$) ของ Matsumoto แสดงให้เห็นถึงการเกิดวัฏภากต่างๆ ของระบบ CZS | 3 |
| รูปที่ 1.3 แผนภาพสมดุลของวัฏภาก $\text{CaO-SiO}_2\text{-ZrO}_2$ (CZS) แสดงถึงความสมดุลระหว่างวัฏภาก ที่อุณหภูมิ $1400\text{-}1500^\circ\text{C}$ | 3 |
| รูปที่ 2.1 แสดงเคลือบที่มีองค์ประกอบของ CaO , ZrO_2 และ SiO_2 ในระบบ $\text{CaO-ZrO}_2\text{-SiO}_2$ ซึ่งปริมาณ ของสารจะมีผลต่อการเกิดสารประกอบเคลือบชนิดต่างๆ [K.J. Hong และคณะ, (2003)] | 6 |
| รูปที่ 2.2 แสดงการรวมตัวของวัฏภากต่างๆ ที่เกิดขึ้นบริเวณขอบเกรนในระบบ $\text{CaO-ZrO}_2\text{-SiO}_2$ [K.J. Hong และคณะ, (2003)] | 6 |
| รูปที่ 3.1 แผนภาพแสดงการเตรียมขั้นงานกระเบื้องสำหรับเคลือบผิว | 9 |
| รูปที่ 3.2 ขั้นงานกระเบื้องดิบที่ผ่านการอัดขึ้นรูปแล้ว | 10 |
| รูปที่ 3.3 แผนผังแสดงขั้นตอนและวิธีการเตรียมสารสำหรับเคลือบกระเบื้อง | 11 |
| รูปที่ 3.4 แผนผังแสดงขั้นตอนกระบวนการชั้นรูปกระเบื้องเซรามิกชนิดทนกรด | 12 |
| รูปที่ 3.5 ขั้นงานที่ผ่านการเผาดิบและขั้นงานกระเบื้องสูตร Z13 และ Z14 หลังทำการเผาเคลือบแล้ว | 13 |
| รูปที่ 3.6 การทดสอบความด้านทานการกัดกร่อนของเคลือบ | 13 |
| รูปที่ 3.7 แผนภาพแสดงช่วงอุณหภูมิในการเผากระเบื้องเคลือบ | 14 |
| รูปที่ 4.1 การวิเคราะห์ด้วยเครื่อง Differential thermal analysis (DTA) สูตรที่ Z12 | 15 |
| รูปที่ 4.2 การวิเคราะห์ด้วยเครื่อง Differential thermal analysis (DTA) สูตรที่ Z13 | 16 |
| รูปที่ 4.3 การวิเคราะห์ด้วยเครื่อง Differential thermal analysis (DTA) สูตรที่ Z14 | 16 |

| | |
|--------------------------------------------------------------------------------------------------------------------------------------------------------------------------------------------------------------|----|
| รูปที่ 4.4 การวิเคราะห์ด้วยเครื่อง Differential thermal analysis (DTA) สูตรที่ Z15 | 17 |
| รูปที่ 4.5 การวิเคราะห์ด้วยเครื่อง Differential thermal analysis (DTA) สูตรที่ Z16 | 18 |
| รูปที่ 4.6 ผลการวิเคราะห์เคลือบด้วยเครื่อง X-Ray Diffraction (XRD) ของสูตร Z16, Z15, Z14, Z13 และ Z12 | 19 |
| รูปที่ 4.7 ภาพของชิ้นงานกระเบื้องสูตรต่างๆที่ผ่านการเผาเคลือบแล้ว | 20 |
| รูปที่ 4.8 การวิเคราะห์ด้วยกล้อง Scanning Electron Microscope (SEM) ของเหล่งข้อมูล อ้างอิง ([K.J. Hong และคณะ, (2003)]) | 21 |
| รูปที่ 4.9 Scanning electron microscope (SEM) ก่อนทดสอบความต้านทานการกัดกร่อน ของเคลือบสูตร Z13 ที่ไม่ได้ทำการตกผลึก (recrystallization) ที่อุณหภูมิ 1050°C | 22 |
| รูปที่ 4.10 Scanning electron microscope (SEM) หลังทดสอบความต้านทานการกัดกร่อน ของเคลือบสูตร Z13 ที่ไม่ได้ทำการตกผลึก(recrystallization) ที่อุณหภูมิ 1050°C | 22 |
| รูปที่ 4.11 Scanning electron microscope (SEM) ก่อนทดสอบความต้านทานการกัดกร่อน ของเคลือบสูตร Z14 ที่ไม่ได้ทำการตกผลึก (recrystallization) ที่อุณหภูมิ 1050°C | 23 |
| รูปที่ 4.12 Scanning electron microscope (SEM) หลังทดสอบความต้านทานการกัดกร่อน ของเคลือบสูตร Z14 ที่ไม่ได้ทำการตกผลึก (recrystallization) ที่อุณหภูมิ 1050°C | 23 |
| รูปที่ 4.13 Scanning Electron Microscope (SEM) โดยการทำการทดสอบความต้านทานการ กัดกร่อนของสูตร Z12 ที่ทำการตกผลึก (recrystallization) ที่อุณหภูมิ 1050°C เป็น [†] เวลา 30 นาที | 24 |
| รูปที่ 4.14 SEM ของผิวเคลือบกระเบื้องที่ทำการเคลือบด้วยเคลือบสูตร Z13 (a) และ Z14 (b) ที่ทำการตกผลึกที่อุณหภูมิ 1050°C เป็นเวลา 30 นาที ก่อนทำการทดสอบความ ต้านทานการกัดกร่อน | 25 |



รูปที่ 4.15 Scanning Electron Microscope (SEM) ในการทำการทดสอบความต้านทาน

การกัดกร่อนของสูตร Z13 ที่ทำการตกผลึก (recrystallization) ที่อุณหภูมิ 1050°C

เป็นเวลา 30 นาที

25



รูปที่ 4.16 Scanning Electron Microscope (SEM) ในการทำการทดสอบความต้านทาน

การกัดกร่อนของสูตร Z14 ที่ทำการตกผลึก (recrystallization) ที่อุณหภูมิ 1050°C

เป็นเวลา 30 นาที

26



รูปที่ 4.17 แสดงผลทดสอบความต้านทานการกัดกร่อนจากการตัดของเคลือบสูตรต่างๆ

ที่อุณหภูมิ 120 องศาเซลเซียส

28



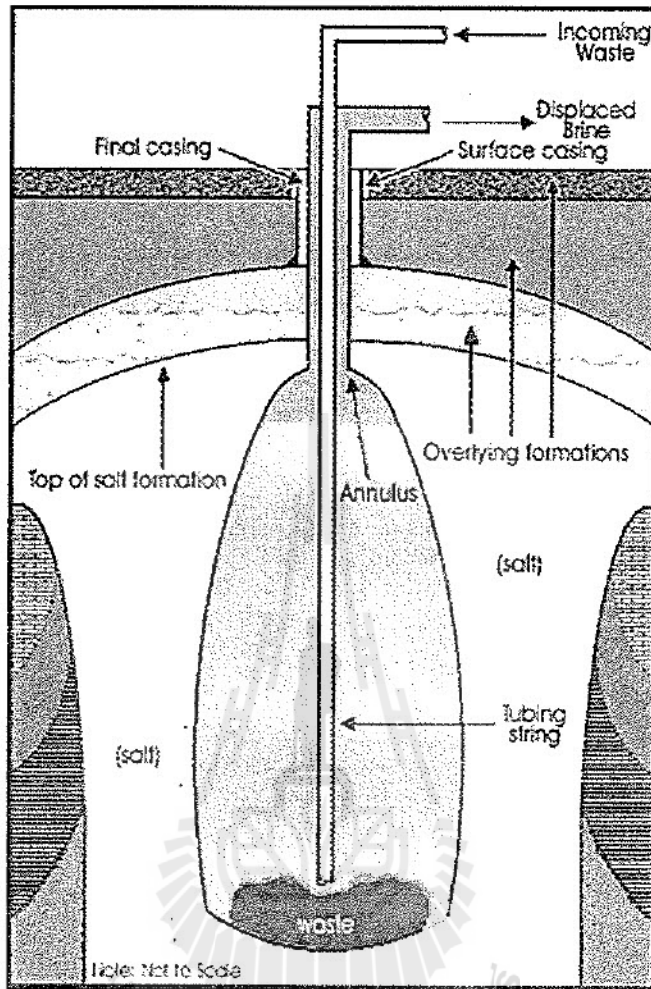
มหาวิทยาลัยเทคโนโลยีสุรินทร์

บทที่ 1

บทนำ

ความสำคัญและความเป็นมาของปัญหาที่ทำการวิจัย

ในปัจจุบันการกักเก็บของเสียจากภาคอุตสาหกรรมหรือการกักเก็บขยะมีพิษ การนิวเคลียร์ จะใช้วิธีการกักเก็บในโพรงเกลือได้ดินในชั้นเกลือหิน (Salt cavern) ซึ่งจำเป็นจะต้องอาศัยโครงสร้างทางวิศวกรรมต่างๆ ประกอบกันในการก่อสร้างผนังของโพรงเกลือ โดยใช้วัสดุก่อสร้าง อาทิ เช่น ชีเมนต์ คอนกรีต หรือกระถางถังเหล็กหนาที่ใช้สำหรับเก็บกากของเสียเหล่านี้ ล้วนต้องสัมผัสกับความเป็นกรดของชั้นเกลือหินทั้งสิ้น ทำให้เกิดการ腐กร่อน ซึ่งการ腐กร่อนนี้จะส่งผลให้วัสดุต่างๆ มีความแข็งแรงหรือมีเสถียรภาพลดลง โดยเฉพาะอย่างยิ่งโครงสร้างทางวิศวกรรม ซึ่งจะส่งผลกระทบอย่างมากต่อโครงสร้างที่ต้องคงอยู่เป็นระยะเวลา漫นาน ซึ่งต้องกักเก็บไปนานกว่า 50 ปี การสรรหารวัสดุที่มีความสามารถในการทนต่อการกัดกร่อนของกรดเกลือจึงเป็นอีกทางเลือกหนึ่งในการรักษาความคงทนแข็งแรงของผนังโพรงเกลือ ซึ่งเซรามิกก็เป็นวัสดุที่นิยมใช้อย่างแพร่หลายในอุตสาหกรรมต่างๆ เนื่องจากมีความแข็งสูง (Hardness) ทนต่อการขัดสีได้ดี (Wear resistance) ทนต่อความร้อนสูง (High temperature) สัมประสิทธิ์การขยายตัวต่ำ (Low coefficient of thermal expansion) ทำให้ทนต่อการแตกหักอันเนื่องมาจากการเปลี่ยนอุณหภูมิโดยฉับพลันได้ดี (Thermal shock resistance) ทนสภาพกรดและด่างได้ดี (Chemical resistance) สามารถนำไปขึ้นรูปเป็นผลิตภัณฑ์ที่มีประโยชน์ได้หลายชนิด เช่น ใช้ทำวัสดุทนไฟในเตาเผาและเตาหลอม วัสดุขัดถูคุณภาพและผนังกรุหม้อนดสำหรับอุตสาหกรรมเซรามิก ใช้ทำส่วนประกอบของเกราะกันกระสุนสำหรับอุตสาหกรรมทหาร ใช้ทำถ้วยเพาลาร์ (Crucible) สำหรับอุตสาหกรรมอัลูมิ늄 ใช้ทำหัวพ่นหรายสำหรับงานตกแต่งพื้นโลหะ ใช้ทำแผ่นรองวงจรไฟฟ้ารวม (IC) สำหรับอุตสาหกรรมอิเล็กทรอนิกส์ ใช้ทำหัวเทียน ชิ้นส่วนเครื่องยนต์ของรถยนต์สำหรับอุตสาหกรรมยานยนต์ใช้ทำฝาครอบหลอดไฟโซเดียมที่ให้ความสว่างสูง และยังใช้เป็นชิ้นส่วนของอุปกรณ์แทนเช่น ข้อต่อกระดูกเทียน เป็นต้น โดยการก่อสร้างผนังของโพรงเกลือโดยใช้วัสดุประเภทชีเมนต์ คอนกรีต ถึงแม้จะมีความแข็งแรงสูงแต่ก็อาจไม่สามารถทนต่อการกัดกร่อนจากกรดเกลือเมื่อใช้งานเป็นระยะเวลา漫นาน

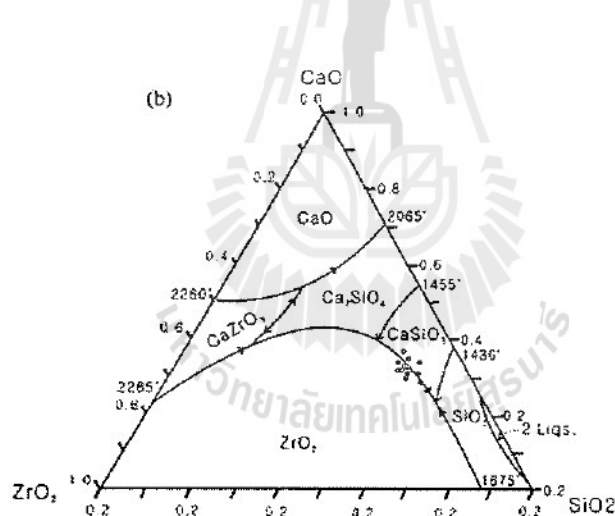


รูปที่ 1 แสดงหน้าตัดขวางภายในโพรงเกลือ

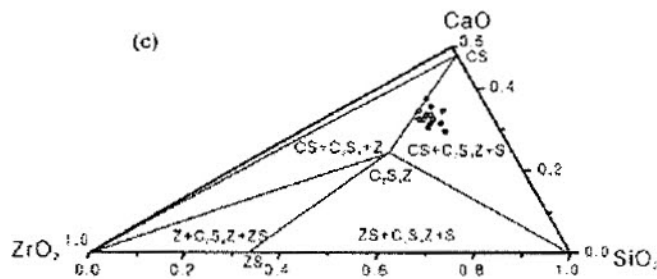
รูปที่ 1.1 แสดงให้เห็นถึงภายในของโพรงเกลือซึ่งเกิดจากหลุมยุบตามธรรมชาติของบ่อเกลือ

จากรูปที่ 1 แสดงให้เห็นถึงภายในของโพรงเกลือซึ่งเกิดจากหลุมยุบตามธรรมชาติของบ่อเกลือซึ่งสามารถนำมาใช้ประโยชน์ในการกักเก็บของเสียหรือก๊าซและน้ำมัน โดยจะต้องมีการก่อสร้างผังบริเวณปากบ่อเพื่อทำการนำของเสียไปกักเก็บและมีทางระบายให้น้ำเกลือ (brine) สามารถถูกดันออกได้ จะเห็นได้ว่าในส่วนของ surface casing ที่จะต้องสัมผัสกับผิวดินซึ่งมีเกลือแร่ตันออกมากตลอดอาจจะส่งผลให้วัสดุโครงสร้างเกิดการกัดกร่อนจึงได้มีแนวคิดที่จะใช้วัสดุเซรามิกในการสัมผัสกับผิวน้ำของปากบ่อแทนที่จะใช้คอนกรีตหรือซีเมนต์

ดังนั้นเพื่อทำให้กระเบื้องเซรามิกดังกล่าวมีความคงทนต่อการใช้งานในสภาวะที่เป็นกรด ด้วยการปรับปรุงสมบัติทางด้านเคมีของกระเบื้องเซรามิกโดยใช้วัสดุเคลือบที่มีส่วนผสมของ CaO , ZrO_2 และ SiO_2 หรือเรียกว่าเคลือบ CZS ตามแผนภูมิสมดุลวัฏภพ (Phase diagram) เมื่อจากพบว่าองค์ประกอบที่เกิดขึ้นในระหว่างการเผาเคลือบชนิดนี้จะได้วัฏภพที่มีความหนาต่อการกัดกร่อนทางเคมีสูง และมีความแข็งแรงเชิงกลสูง [K.J. Hong และคณะ, (2003)] จากการค้นคว้าเอกสารงานวิจัยนั้นพบว่า ระบบของแก้วที่มีองค์ประกอบเป็น $\text{CaO-ZrO}_2-\text{SiO}_2$ (CZS) นั้นมีคุณสมบัติที่เหมาะสมกับการนำไปเคลือบผิวของวัสดุเพื่อเพิ่มความหนาต่อการกัดกร่อนจากการเผาเคลือบชนิดนี้ให้มีคุณสมบัติที่ดีเหมาะสมกับกระเบื้องซึ่งได้มีผู้ทำการวิจัยทดลองศึกษาถึงการใช้กระบวนการเผาแบบ Microwave หรือกระบวนการแบบดั้งเดิม (conventional heating) แต่อย่างไรก็ตามงานวิจัยยังจำกัดอยู่ในช่วงส่วนผสมของเคลือบที่อยู่ในช่วงแคบ คือ 31-33% CaO - 12-16% ZrO_2 และ 51-55% SiO_2 โดยอาจจะมีการเติมพ附加 $\text{Li}(\text{Na},\text{K})_2\text{O}$ ลงไปบ้าง แต่อย่างไรก็ตาม ผลของส่วนผสมต่างๆ ที่มีต่อการเกิดเคลือบก็ยังไม่ได้รับการศึกษาอย่างชัดเจน โดยช่วงของส่วนผสมที่ทำการทดลองเป็นการคาดคะเนจากแผนภาพวัฏภพของ $\text{CaO-ZrO}_2-\text{SiO}_2$ (Matsumoto et al. in 1954) และโดยส่วนมากแล้วการอ้างอิงถึงการนำเคลือบชนิด CZS ไปใช้งานนั้nmักจะใช้แผนภาพวัฏภพของ ternary phase ที่ wollastonite มีความเสถียรเป็นหลัก



รูปที่ 1.2 แผนภูมิสมดุลวัฏภพ(Phase diagram of the $\text{CaO-ZrO}_2-\text{SiO}_2$) ของ Matsumoto แสดงให้เห็นถึงการเกิดวัฏภพต่างๆ ของระบบ CZS

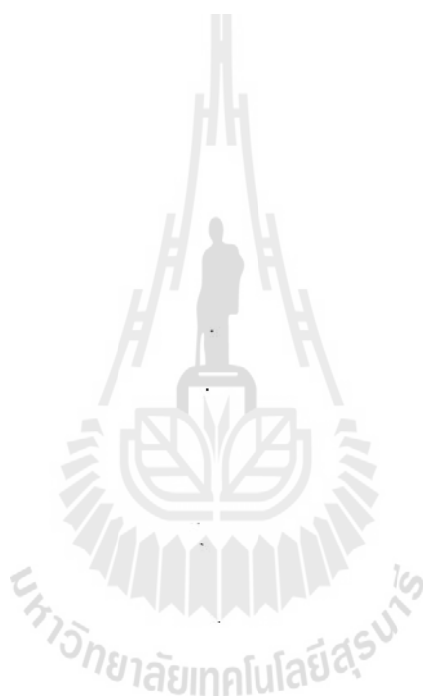


รูปที่ 1.3 แผนภาพสมดุลของวัสดุภาค $\text{CaO}-\text{SiO}_2-\text{ZrO}_2$ (CZS) และแสดงถึงความสมดุลระหว่างวัสดุภาคที่อุณหภูมิ $1400-1500^\circ\text{C}$

จากการศึกษางานวิจัยในส่วนที่เกี่ยวกับกระเบื้องเซรามิกในด้านของการทนทานต่อการกัดกร่อนพบว่าได้ให้ความสำคัญกับตัวเคลือบที่มีความสามารถทนทานต่อการขัดสี มีความแข็งแรงสูง ทนต่อการกัดกร่อนจากสภาพแวดล้อมต่างๆ ซึ่งได้มีการทดลองใช้วิธีการต่างๆ เพื่อทำการเคลือบผิวน้ำและทดลองเกี่ยวกับเคลือบที่มี Glass-ceramic เป็นองค์ประกอบหลักเนื่องมาจากการต้องการใช้งานกระเบื้องห้องน้ำแบบบุผนัง (wall tiles) และปูพื้น(floor tiles) ทั้งนี้ Glass-ceramic เป็นวัสดุเซรามิกที่มีกระบวนการขึ้นรูปและควบคุมกระบวนการ nucleation และ crystal growth ให้เกิดผลลัพธ์ขององค์ประกอบทางเคมีที่ต้องการในเนื้อของแก้วซึ่งในกระบวนการผลิตเคลือบเพื่อทำให้ได้เคลือบที่มีผลลัพธ์ Glass-ceramic ที่มีคุณสมบัติตามต้องการ เช่น ความทนทานต่อสารเคมีที่เป็นกรดด่าง ผิวน้ำมีความเรียบ ความทนทานต่อการเกิดรอยขีดข่วน ความแข็งแรง จึงจำเป็นต้องศึกษาระบวนการผลิตเพื่อควบคุมการเกิดโครงสร้างจุลภาคของเคลือบ (microstructures modification) ให้มีการ devitrification ให้ผลลัพธ์ของ Glass-ceramic ที่มีองค์ประกอบทางเคมีและวัสดุภาค(phases)ตามต้องการ โดยกระบวนการทำให้เคลือบมีผลลัพธ์ของ Glass-ceramic นั้นจำเป็นอย่างยิ่งที่จะต้องควบคุมปัจจัย(factor) ต่างๆ ของกระบวนการคือ องค์ประกอบพื้นฐานทางเคมี(basic composition), ตัวล่อผลลัพธ์(Nucleating agents), และกระบวนการเผาเคลือบ (Heat treatment) เพื่อทำให้เกิดวัสดุภาคของผลลัพธ์(crystal phases), ขนาด(size) และ ความเป็นผลลัพธ์ (crystallinity) อันจะทำให้ได้คุณสมบัติของแก้วที่ดี เนื่องจากงานวิจัยนี้เน้นไปทางด้านคุณสมบัติของสารเคลือบจึงจำเป็นจะต้องศึกษาความเป็นมาเกี่ยวกับการเกิดเป็น Glass และ Glass-ceramic ซึ่งเป็นสิ่งสำคัญที่จะช่วยให้ได้เคลือบที่เกิดองค์ประกอบทางเคมีที่มีความต้านทานการกัดกร่อนและมีความแข็งแรงซึ่งหลักการในการเกิด Glass และ Glass-ceramic

สำหรับการใช้งานวัสดุเซรามิกช่วยในการก่อสร้างผนังของโพรงเกลือเพื่อเป็นตัวสัมผัสกับสภาพความเป็นกรดของชั้นเกลือหินและสามารถใช้ภายในได้การใช้งานที่อุณหภูมิสูงได้ จำเป็นอย่างยิ่งที่จะต้องมีการปรับปรุงสมบัติทางด้านเคมีด้วยการเคลือบสารที่มีสมบัติทนต่อการกัดกร่อนจากการคล่องบนผิวของกระเบื้องเซรามิกอีกด้วยที่หนึ่ง จึงสารเคลือบทั้งกล่าวต้องมีสมบัติทั้งทางด้านแข็งกลและเคมี อีกทั้งต้องมีสมบัติทนต่อความร้อนได้

ดังนั้นในงานวิจัยนี้จึงมีแนวคิดที่จะนำผลการวิจัยจากโครงการแรกที่ได้ทำการวิจัยเสร็จสิ้นไปแล้วในปีงบประมาณ 2554 ซึ่งโครงการ “การขึ้นรูปกระเบื้องเซรามิกชนิดทนกรดเพื่อป้องโคงสร้างทางวิศวกรรม ในชั้นเกลือทิน” โดยใช้วัสดุเคลือบที่มีส่วนผสมของ CaO, ZrO₂ และ SiO₂ หรือเรียกว่า เคลือบ CZS เนื่องจาก มีความทนต่อการกัดกร่อนทางเคมีสูงมีความแข็งแรงเชิงกลสูง และมีสมบัติทนต่อความร้อนได้ ซึ่งจะแตกต่าง จากกระเบื้องเซรามิกเคลือบที่มีใช้กันอยู่ทั่วไปในปัจจุบันในรูปแบบของกระเบื้องบูพื้น-ปูผนัง บ้านหรืออาคาร ต่างๆ

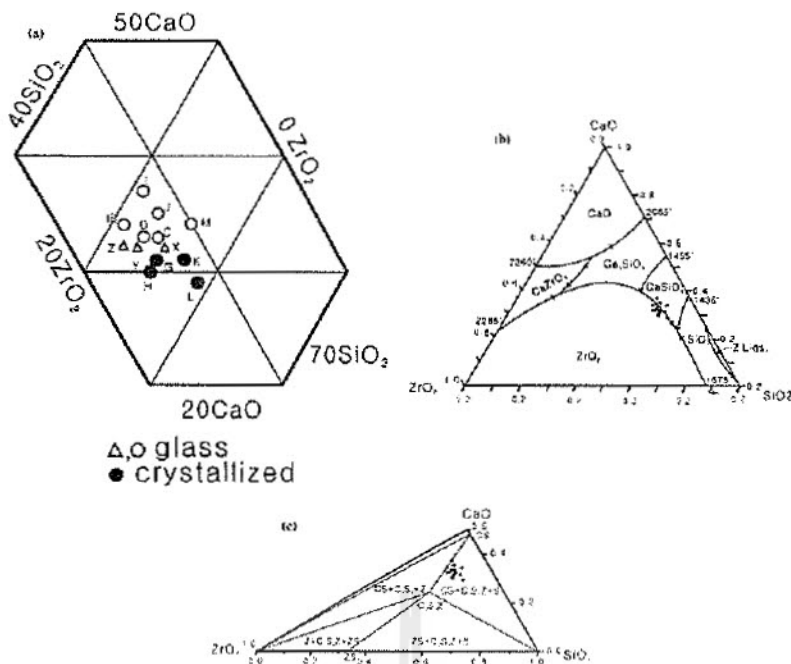


บทที่ 2

ทฤษฎี และงานวิจัยที่เกี่ยวข้อง

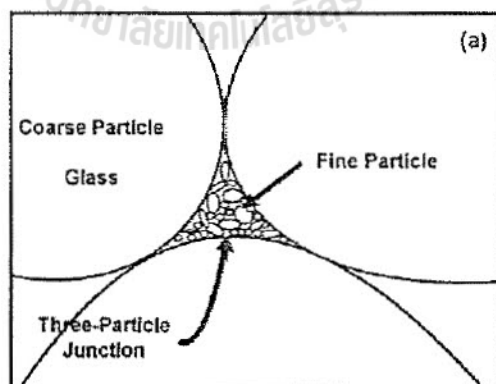
ปริศน์วรรณกรรม และ งานวิจัยที่เกี่ยวข้อง

การใช้งานเซรามิกในด้านความคงทนต่อการกัดกร่อนของกรดเกลือ นั้น จำเป็นอย่างยิ่งที่จะต้องมีการปรับปรุงสมบัติทางด้านเคมี โดยการเคลือบสารที่มีสมบัติทนต่อการกัดกร่อนจากการดูแล ลงบนผิวของกระเบื้องเซรามิกอีกทีหนึ่ง ซึ่งสารเคลือบดังกล่าวต้องมีสมบัติทั้งทางด้านเชิงกลและเคมีที่แตกต่างจากกระเบื้องเซรามิกเคลือบที่มีใช้กันอยู่ทั่วไปในปัจจุบันในรูปแบบของกระเบื้องปูพื้น-ปูผนัง บ้านหรืออาคารต่างๆ ดังนั้น เพื่อทำให้กระเบื้องเซรามิกดังกล่าวมีความคงทนต่อการใช้งานในสภาวะที่เป็นกรดเกลือ ในงานวิจัยนี้ได้เน้นงานวิจัยปรับปรุงสมบัติทางด้านเคมีของกระเบื้องเซรามิกโดยใช้วัสดุเคลือบที่มีส่วนผสมของ CaO , ZrO_2 และ SiO_2 หรือเรียกว่า เคลือบ CZS เมื่อจากมีความทนต่อการกัดกร่อนทางเคมีสูง และมีความแข็งแรงเชิงกลสูง [K.J. Hong และคณะ, (2003)] จากการศึกษาข้อมูลพบว่า การเติม CaO ลงในเนื้อเคลือบที่มีองค์ประกอบของ SiO_2 เป็นหลักจะสามารถถ้านทานการกัดกร่อนจากการดูแล ได้ แต่อย่างไรก็ตามหากมีการเติม ZrO_2 ในปริมาณที่ไม่เกินร้อยละ 14 โดยมีผู้นัก [V. Cannillo และคณะ, (2009)] ที่จะสามารถทำให้ความถ้านทานการกัดกร่อนจากการดูแลเพิ่ม เมื่อจาก CaO , ZrO_2 และ SiO_2 จะทำให้เกิดสารประกอบใหม่ในเคลือบ ได้แก่ Wollastonite (CaSiO_3) และ Calcium zirconium silicate ($\text{Ca}_2\text{ZrSi}_4\text{O}_{12}$, $\text{Ca}_3\text{ZrSi}_2\text{O}_9$, $\text{CaZrSi}_2\text{O}_9$ และ $\text{Ca}_{1.2}\text{Si}_{4.3}\text{Zr}_{0.2}\text{O}_8$) ในระบบ $\text{CaO}-\text{ZrO}_2-\text{SiO}_2$ system [K.J. Hong และคณะ, (2003)] ดัง Phase diagram ในรูปที่ 4



รูปที่ 2.1 แสดงเคลือบที่มีองค์ประกอบของ CaO, ZrO₂ และ SiO₂ ในระบบ CaO-ZrO₂-SiO₂ ซึ่งปริมาณของสารจะมีผลต่อการเกิดสารประกอบเคลือบทันติต่างๆ [K.J. Hong และคณะ, (2003)]

ซึ่งวัյภาคต่างๆ ที่เกิดขึ้นได้แก่ Ca₃ZrSi₂O₉, CaZrSi₂O₉ และ Ca₁₂Si_{4.3}Zr_{0.2}O₈ ในระบบ CaO-ZrO₂-SiO₂ จะไปรวมตัวกันอยู่ที่บริเวณขอบเกรนดังรูปที่ 5



รูปที่ 2.2 แสดงการรวมตัวของวัյภาคต่างๆ ที่เกิดขึ้นบริเวณขอบเกรนในระบบ CaO-ZrO₂-SiO₂ [K.J. Hong และคณะ, (2003)]

การทบทวนวรรณกรรม (reviewed literature) / สารสนเทศ (information) ที่เกี่ยวข้อง

Hong K.J. et al. ทำการทดลองเคลือบ $\text{CaO-SiO}_2\text{-ZrO}_2$ ที่มีความสามารถในการทนทานการขัดสี (wear resistance) และทนต่อการกัดกร่อนของกรดด่าง (acid resistance) โดยนำเตรียมส่วนผสมเคลือบ glass ceramic โดยใช้ $\text{CaO-SiO}_2\text{-ZrO}_2$ เป็นวัตถุดินในการเตรียม frit โดยใช้การ heat treatment แบบ single stage heat treatment โดยใช้กระบวนการแบบ conventional ซึ่งได้คันพบร่วมกับ glass ceramic นั้น ประกอบไปด้วยวัյภากาศของ wallastonite (CaSiO_3) และ calcium zirconium silicate ($\text{Ca}_2\text{ZrSi}_4\text{O}_{12}$) เป็นหลัก ซึ่งมีกลไกการเกิดเป็นผลึกจากผิวน้ำสูญญากาศในช่องโครงสร้างจุลภาค ซึ่งจากการทดสอบการขัดสีและความทนต่อกรดด่างพบว่า วัญภากาศของ calcium zirconium silicate ($\text{Ca}_2\text{ZrSi}_4\text{O}_{12}$) มีผลต่อคุณสมบัติทางกายภาพและคุณสมบัติทางการกลน่องจากนี้ ZrO_2 ที่ส่งผลต่อความแข็งแรงของเคลือบและทำให้ทนทานต่อการกัดกร่อนด้วย

Silicardi C. et al. โดยใช้กระบวนการ Microwave เพื่อทำการ sintering glass ceramic ในระบบ ternary ของ $\text{CaO-SiO}_2\text{-ZrO}_2$ ในบริเวณที่ wallastonite (CaSiO_3) และ zirconia มีความเสถียรเพื่อทำการ sintering ที่อุณหภูมิต่ำและพบว่า glass ceramic ที่ได้มีความแตกต่างกันในด้านของกลไกการผลักดันโดยจากการวิจัยนี้ทำให้ทราบว่ากระบวนการ Microwave สามารถทำการ sintering glass ceramic ได้ที่ อุณหภูมิต่ำในช่วง 900-1050 องศาเซลเซียสและการ heat treatment ทำให้เกิดวัญภากาศของ glass ceramic เป็นวัญภากาศของ CaSiO_3 และ $\text{Ca}_2\text{ZrSi}_4\text{O}_{12}$ ซึ่งผลจากกล้องจุลทรรศน์อิเล็กตรอนทำให้มองเห็น ลักษณะผลึกของ CaSiO_3 และ $\text{Ca}_2\text{ZrSi}_4\text{O}_{12}$ ได้ชัดเจน โดยคุณสมบัติด่างๆ ของ glass ceramic ขึ้นอยู่กับกระบวนการผลักดัน ส่วนผสมของแก้ว และลักษณะของผลึกที่เกิดขึ้นส่งผลต่อความแข็งของ glass ceramic ด้วย

Bolelli G. et al ทำการ Plasma-sprayed บน glass ceramic เคลือบบนผิวน้ำของกระเบื้องเซรามิก เพื่อทำการศึกษาโครงสร้างจุลภาค ความทนทานต่อสารเคมี และคุณสมบัติเชิงกล โดยทำการทดลองเปรียบเทียบระหว่าง เคลือบ frit ที่มีส่วนผสมของ $\text{CaO-SiO}_2\text{-ZrO}_2$ (CZS) และ เคลือบ frit ที่มีส่วนผสมของ $\text{CaO-Al}_2\text{O}_3\text{-SiO}_2$ (CAS) โดยใช้กระบวนการ Plasma-sprayed เปรียบเทียบกับกระบวนการเผาแบบ conventional process เคลือบบนผิวน้ำของกระเบื้องบุนังและเนื้อ porcelain stoneware โดยใช้กระบวนการ heat treatment ทั้งแบบ single isotherm และ double isotherm เพื่อเปรียบเทียบกันโดยพบร่วมกระบวนการ Plasma-sprayed จะทำให้ได้การยึดเกาะกันระหว่างเคลือบกับกระเบื้องได้ดีซึ่งส่งผลต่อคุณสมบัติความแข็งแรงและพบร่วมกระบวนการ heat treatment แบบ double isotherm ที่อุณหภูมิ 850°C เป็นเวลา 30นาทีและที่อุณหภูมิ 1050 เป็นเวลา 15 นาทีจะทำให้เคลือบมีความทนทานต่อการขัดสีซึ่งจากรายงานการวิจัยระบุว่าความหนาจะสัมพันธ์กับความสามารถในการทนทานต่อการขัดสีทั้งนี้ขึ้นอยู่กับลักษณะโครงสร้างจุลภาคของผลึกที่สามารถยับยั้งรอยแตกที่เกิดขึ้น โดยผลึกที่เกิดขึ้นในเคลือบนั้นจะประกอบไปด้วยผลึกของ CaSiO_3 (wallastonite) และ $\text{Ca}_2\text{ZrSi}_4\text{O}_{12}$ ซึ่งสามารถทนทานต่อการกัดกร่อนของ

กรดได้และการ heat treatment ที่เหมาะสมจะช่วยให้สามารถควบคุมขนาดและปริมาณของผลึกซึ่งส่งผลโดยรวมต่อสมบัติเชิงกลและเคมีของเคลือบด้วย

Silicardi C.et al ทำการศึกษาพฤติกรรมระหว่างเผาเผา (sintering) ของ Glass-ceramic frits ในระบบ CZS ทำการศึกษาลักษณะเฉพาะเชิงความร้อนจากผลของ Differential thermal analysis(DTA) และ Heating microscope analysis (HeMA) โดยใช้การเติมออกไซด์ชนิดต่างๆ 5 mol% เช่น Li₂O ,Na₂O,K₂O,MgO,BaO,ZnO,TiO₂ และ P₂O₅ โดยนำมาหลอมทำเป็น frit บดละเอียดแล้วนำไปวิเคราะห์ DTA และ HeMA จากนั้นทำการอัดขึ้นงานเตรียมเป็น bulk glass นำไปทำการ heat treatment ที่อุณหภูมิ 800,900 และ 1000 °C ใช้ heating rate 20°C/min ผลที่ได้พบว่า พฤติกรรมของ frit ที่ส่วนผสมต่างๆ สามารถแบ่งแยกออกได้เป็นสองชนิดคือ ชนิด A ซึ่งจะเกิดการหดตัวระหว่างเผาเผาก่อนที่จะเกิดการตกผลึก และชนิด B ซึ่งจะเกิดการตกผลึกก่อนที่จะเกิดการหดตัว นอกจากนี้ผลของออกไซด์ที่เติมลงไปนั้นเป็นพาวರ์ฟาร์ม อัลคาไลน์และอัลคาไลน์เออร์ฟ ซึ่งส่งผลให้เกิดการเปลี่ยนแปลงโครงสร้างซึ่งมีทั้งข้อลดความหนืด(P₂O₅ , TiO₂, MgO และ ZnO)และเพิ่มความหนืด(CaO และ BaO) ในระหว่างการเผาเผากำราดทางด้าน TiO₂ ยังช่วยเป็น nucleating agent อีกด้วย

Silicardi C.et al ทำการศึกษาผลของการนำ Glass ในระบบ CaO-ZrO₂-Al₂O₃-SiO₂ โดยการเติม Al₂O₃ ปริมาณ 1,3,5 และ 10 mol% แล้วนำไปเคลือบน porcelain stoneware โดยใช้กระบวนการเผาที่ อุณหภูมิ 1220°C ในระยะเวลา 50 นาทีเพื่อมั่นคงในระบบอุตสาหกรรมจริง พบว่าตัวอย่างที่มีการเติม Al₂O₃ 5 mol% มีสมบัติเชิงกลและทางกายภาพดีที่สุดในบรรดาตัวอย่างทั้งหมดคือมีค่า linear shrinkage 3.5% water absorption 0.01% และมีค่า Modulus of rupture 63.3 N/mm²

Silicardi C.et al ทำการเติม V₂O₅ เพื่อศึกษาทำการเผาเผาและทำการตกผลึกของ CaO-ZrO₂-SiO₂ glass-ceramic พบว่าได้วัสดุ glass-ceramic ที่มีความหนาแน่น 95% ของความหนาแน่นตามทฤษฎีหลังจากทำการเผาเผากันที่ 900 °C เป็นเวลา 1 ชั่วโมงในตัวอย่างที่ทำการเติม V₂O₅ และพบว่าวัสดุที่เกิดขึ้นในตัวอย่างนั้นประกอบไปด้วย wollastonite , calcium zirconium silicate และ calcium zirconium oxide ผลของ V₂O₅ ช่วยลดอุณหภูมิในการเผาเผาและยังช่วยเรื่องการนำไฟฟ้าของ CaO-ZrO₂-SiO₂ glass-ceramic อีกด้วย

Bolleli G.et al ได้ใช้ frit 3 ชนิดที่ใช้ในอุตสาหกรรมได้แก่ BaO-Al₂O₃-SiO₂ (BAS) ,CaO-MgO-Al₂O₃-SiO₂ และ CaO-ZrO₂- Al₂O₃-SiO₂ (CZAS) ทำการ plasma-spray ลงบน porcelain stoneware tile พบว่า frit ที่ทำการ plasma-spray นั้นหลอมละลายติดกับตัว porcelain stoneware tile ได้ดี แต่ยังมีความไม่สม่ำเสมอรอบเรียบของผิวน้ำเนื่องมาจากการ spray และเกิดรอยร้าวเนื่องจาก residual stress และพบว่าหลังจากการทำ heat treatment แล้วเมื่อเปรียบเทียบคุณสมบัติของ frit ที่เคลือบก่อนและหลังทำการ treatment พบว่ากระบวนการ heat treatment มีผลต่อสมบัติเชิงกลได้แก่ ความแข็ง ความเหนียว และทำให้เคลือบสามารถทนทานต่อการขัดสีได้ดีกว่า ทั้งนี้เป็นผลมาจากการตกผลึกที่เกิดขึ้นในเนื้อเคลือบทาให้สมบัติต่างๆดีขึ้น

จากการค้นคว้าพบว่าในปัจจุบันกระบวนการขึ้นรูปประจำเบื้องเคลือบเซรามิกชนิดทันทานต่อการกัดกร่อนของกรดภายนอกให้การใช้งานที่อุณหภูมิสูง หากมีการตกผลึกของ CaO-ZrO₂-SiO₂ glass-ceramic ก็จะสามารถทำให้ได้คุณสมบัติตามต้องการ และงานวิจัยนี้เน้นที่จะทำการศึกษาและวิจัยเกี่ยวกับกระบวนการเคลือบผิวด้วยกระบวนการเบื้องเซรามิกโดยใช้กระบวนการแบบ conventional ซึ่งจะช่วยลดต้นทุนให้น้อยลงซึ่งหมายความว่าจะสามารถนำไปประยุกต์ใช้กับอุตสาหกรรมของประเทศไทย

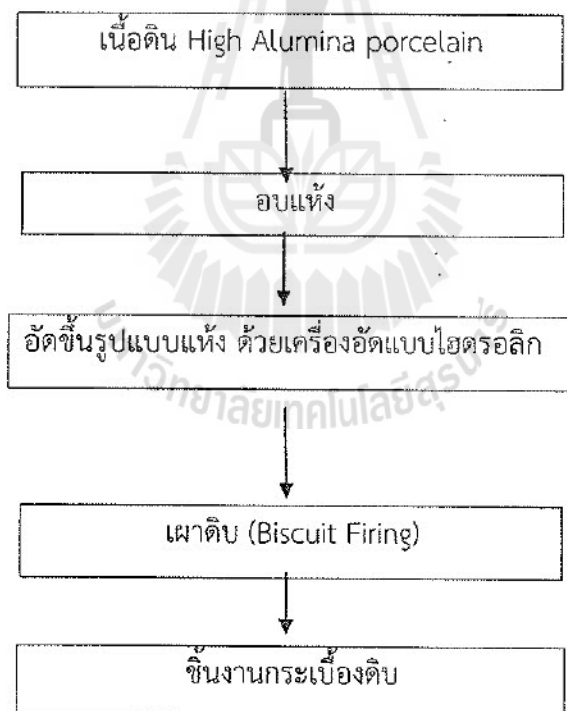


บทที่ 3

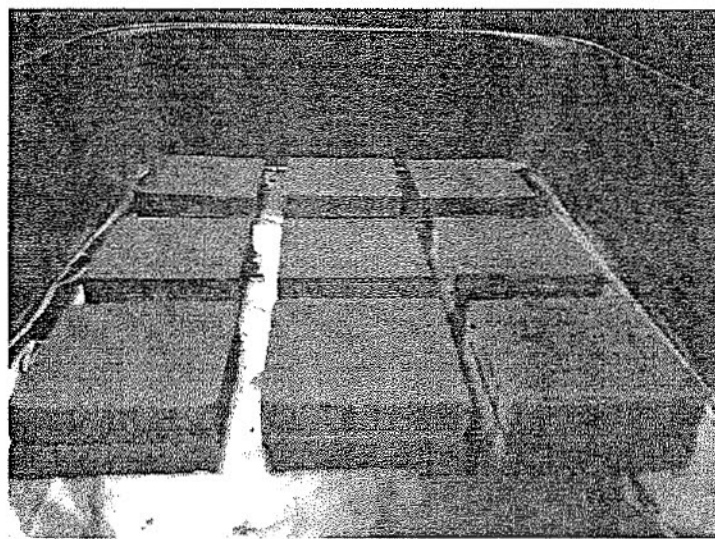
วิธีดำเนินการวิจัย

การเตรียมขั้นงานกระเบื้องสำหรับเคลือบผิว

ส่วนผสมของตัวอย่างขั้นงานกระเบื้องจะใช้เนื้อดิน High Alumina porcelain ตั้งแสดงในตารางที่ 3.1 แล้วทำการบดผสมแบบเบิกในหม้อบด Ball mill เป็นเวลา 24 ชั่วโมง หลังจากนั้นนำของผสมที่ได้ไปอบให้แห้งที่อุณหภูมิ 100°C เป็นเวลา 24 ชั่วโมง แล้วนำผงแห้งไปอัดขึ้นรูปแบบแท่ง ด้วยเครื่องอัดแบบไฮดรอลิก ใช้แรงดันอัด 5 ตัน จะได้ขนาดขั้นงาน 5×5 ซม. ความหนา 0.5 ซม. และทำการเผาดิบโดยใช้อุณหภูมิในการเผาที่ 1000°C เป็นเวลา 2 ชั่วโมง ก่อนนำไปเคลือบผิวด้วยสารเคลือบต่อไป ขั้นตอนและวิธีการโดยสรุปตามแผนภาพ รูปที่ 3.1



รูปที่ 3.1 แผนภาพแสดงการเตรียมขั้นงานกระเบื้องสำหรับเคลือบผิว



รูปที่ 3.2 ขั้นงานกระเบื้องดิบที่ผ่านการอัดขึ้นรูปแล้ว

การเตรียมสารเคลือบสำหรับเคลือบผิวกระเบื้อง

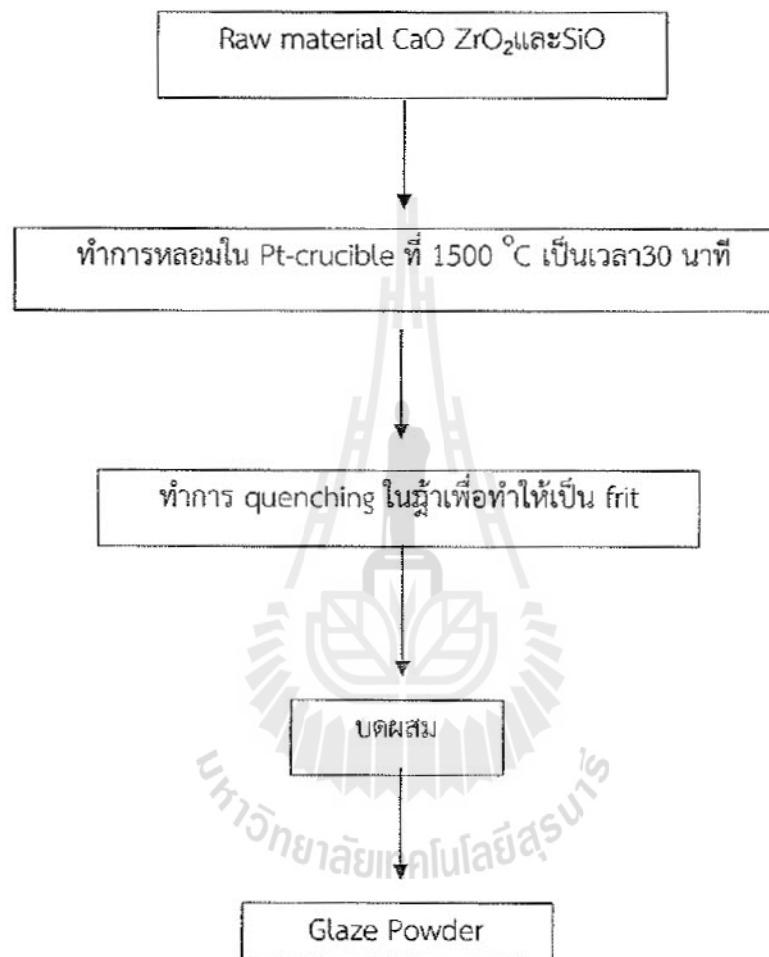
ส่วนผสมของสารเคลือบกระเบื้องประกอบด้วย SiO_2 ปริมาณร้อยละ 53 โดยน้ำหนัก CaO ปริมาณร้อยละ 31-35 โดยน้ำหนัก และ ZrO_2 ปริมาณร้อยละ 12-16 โดยน้ำหนัก เป็นวัตถุดิบตั้งต้น ตั้งแสดงในตารางที่ 3.1 แล้วทำการหลอมส่วนผสมทั้งหมดที่อุณหภูมิ 1500°C โดยใช้เบาะหลอม Platinum Crucible จากนั้นทำให้เย็นตัวอย่างรวดเร็วด้วยการเทنا้แก้วลงในน้ำ (Quenching) เพื่อให้ได้ฟริต (Frits) และบดให้ได้อนุภาคที่ละเอียดสำหรับนำไปเคลือบบนผิวกระเบื้อง แล้วนำผงฟริตที่ได้ไปวิเคราะห์หาวัภภានด้วยเครื่อง XRD และตรวจสอบการเกิดปฏิกิริยาที่อุณหภูมิต่างๆ ด้วยเครื่อง DTA

ตารางที่ 3.1 อัตราส่วนผสมของสารตั้งต้นสำหรับเคลือบผิวกระเบื้องเซรามิก

| ชื่อตัวอย่าง | SiO_2 | CaO | ZrO_2 |
|--------------|----------------|--------------|----------------|
| Z12 | 53 | 35 | 12 |
| Z13 | 53 | 34 | 13 |
| Z14 | 53 | 33 | 14 |
| Z15 | 53 | 32 | 15 |
| Z16 | 53 | 31 | 16 |

การเคลือบผิวกระเบื้อง

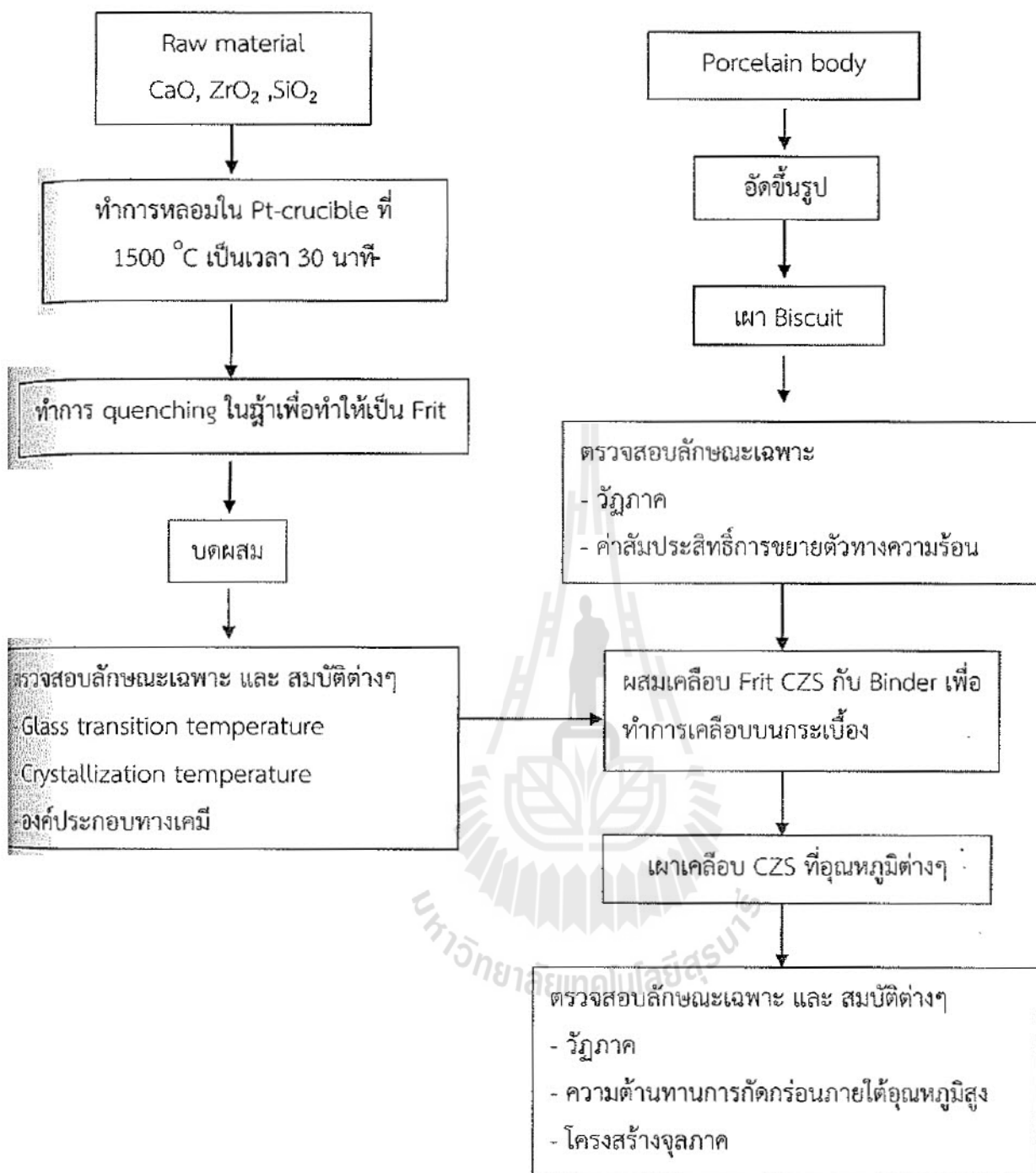
นำสารเคลือบหรือฟริตที่ได้มาผสมกับ Binder ได้แก่ CMC, Sodium Carboxymethyl Cellulose และผ้ากลันน์ ดังส่วนผสมในตารางที่ 3.2 แล้วนำผ้าเคลือบที่ได้ไปเคลือบที่ผิวของกระเบื้องด้วย การพ่น และนำไปเผาเคลือบตามแผนภาพการเผา หลังจากนั้นนำชิ้นงานไปตรวจสอบโครงสร้างจุลภาคของ ผิวเคลือบและทดสอบการทนต่อการกัดกร่อนของกรด



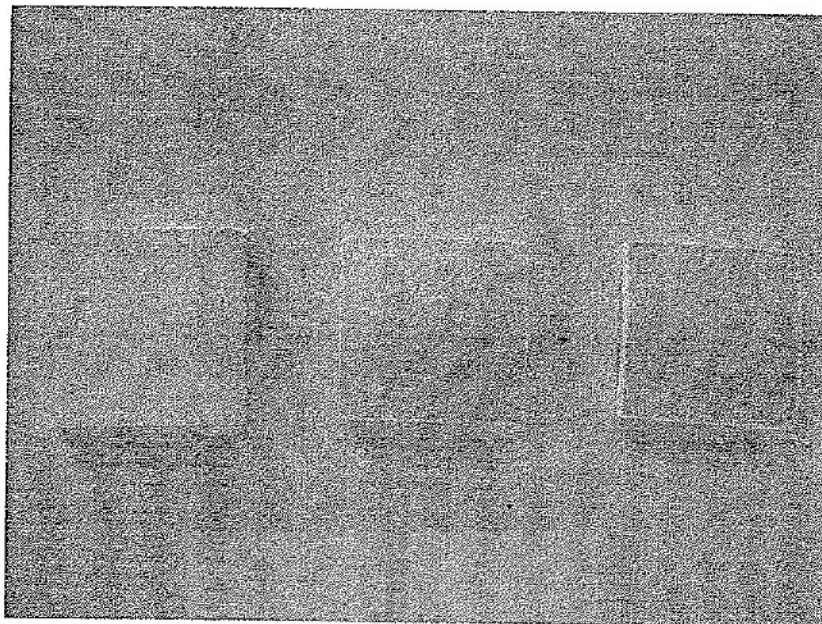
รูปที่ 3.3 แผนผังแสดงขั้นตอนและวิธีการเตรียมสารสำหรับเคลือบกระเบื้อง

ตารางที่ 3.2 แสดงส่วนผสมของผ้าเคลือบสำหรับนำไปเคลือบผิวกระเบื้อง

| วัตถุดิบ | Frit powder | CMC* | ผ้ากลันน์ |
|----------|-------------|------------|-------------|
| ปริมาณ | 20 vol% | 0.005 vol% | 79.995 vol% |



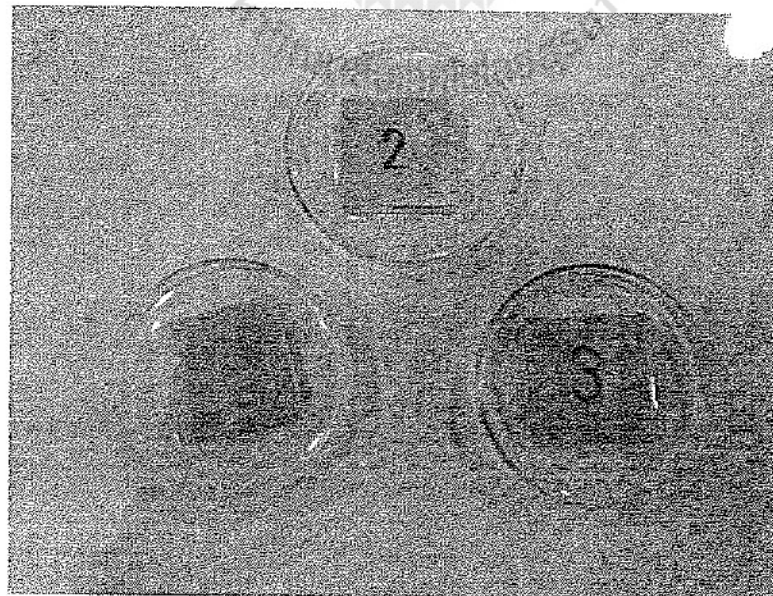
รูปที่ 3.4 แผนผังแสดงขั้นตอนกระบวนการรีบูปร่างเปื้องเซรามิกชนิดทนกรด



รูปที่ 3.5 ชิ้นงานที่ผ่านการเผาดีบและชิ้นงานกระเบื้องสูตร Z13 และ Z14 หลังทำการเผาเคลือบแล้ว

การทดสอบความหนาแน่นต่อการกัดกร่อนของกรดของผิวเคลือบ

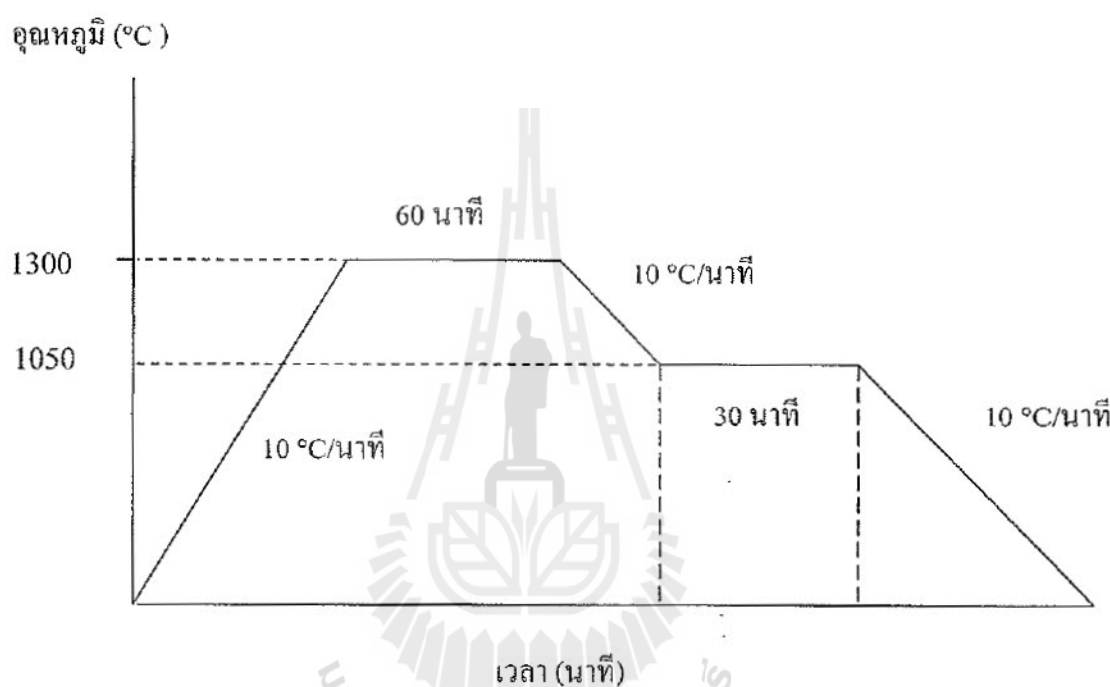
นำชิ้นงานที่ผ่านการเผาเคลือบมาทดสอบความหนาแน่นต่อการกัดกร่อนของกรดด้วยการใช้ผิวหน้าของชิ้นงานลงในสารละลายของกรดไฮโดรคลอริกความเข้มข้น 6 N เป็นเวลา 6 ชั่วโมง โดยทำการซึมน้ำหนักก่อน-หลังการทดสอบเพื่อทราบน้ำหนักที่หายไป แล้วนำชิ้นงานที่ผ่านการทดสอบไปตรวจสอบโครงสร้างจุลภาคของผิวเคลือบด้วยกล้องจุลทรรศน์อิเล็กตรอนแบบส่องกราด (SEM) หัวก่อนและหัวหลังการทดสอบการกัดกร่อนเพื่อเปรียบเทียบความแตกต่าง



รูปที่ 3.6 การทดสอบความต้านทานการกัดกร่อนของเคลือบ

การทดสอบหาอุณหภูมิการตกผลึก (crystallization temperature)

นำผงพริตไปทำการตรวจสอบการเกิดปฏิกิริยาทางความร้อนเพื่อทำการหาช่วงอุณหภูมิในการเผาเคลือบที่เหมาะสมโดยใช้วิธีการ Differential Thermal Analysis(DTA) และโดยกระบวนการเผาจะทำเป็นสองแบบคือแบบแรกจะทำการเผาเคลือบโดยไม่ทำการตกผลึกซึ่งจะทำการเผาโดยใช้ Heating rate $10^{\circ}\text{C}/\text{min}$ จนถึงอุณหภูมิ 1300°C เป็นเวลา 1 ชั่วโมง และแบบที่สองจะทำการเผาเคลือบให้สอดคล้องกับช่วงอุณหภูมิในการเกิดปฏิกิริยาโดยจะทำการเผาโดยใช้ Heating rate $10^{\circ}\text{C}/\text{min}$ จนถึงอุณหภูมิ 1300°C เป็นเวลา 1 ชั่วโมงและทำการลดอุณหภูมิลงโดยใช้ rate $10^{\circ}\text{C}/\text{min}$ จนถึงอุณหภูมิ 1050°C เป็นเวลา 30 นาทีจากนั้นจึงปล่อยให้เย็นลงจนถึงอุณหภูมิท่องตั้งแผนภาพ



รูปที่ 3.7 แผนภาพแสดงช่วงอุณหภูมิในการเผากระเบื้องเคลือบ

การทดสอบความทนทานต่อการกัดกร่อนของกรดเคลือป้ายใต้อุณหภูมิสูงของผิวเคลือบ

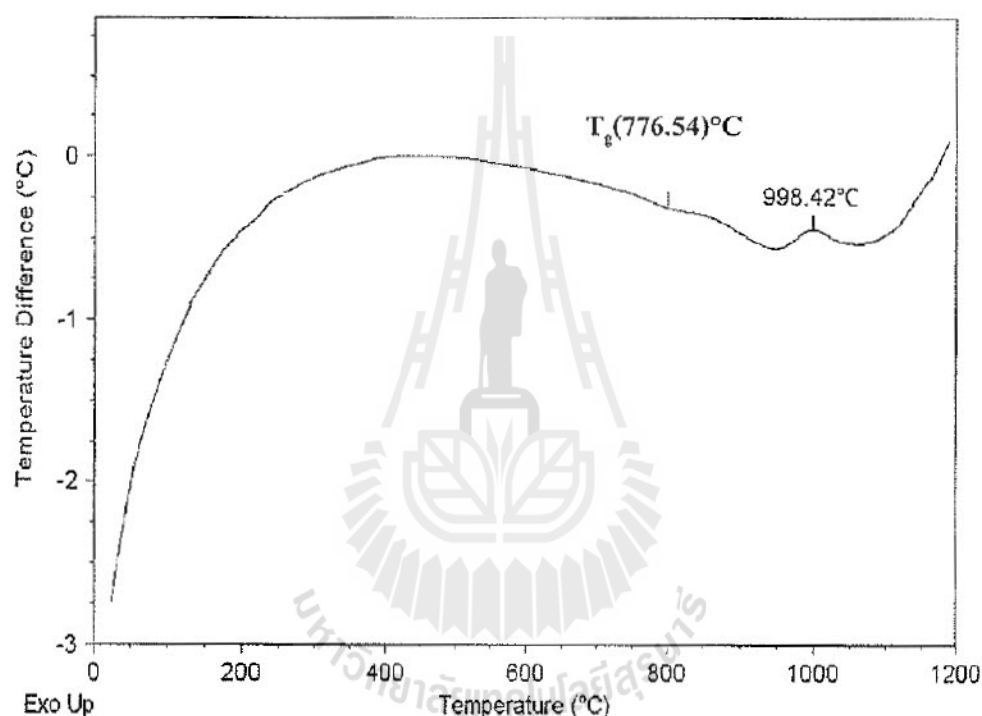
นำขั้นงานที่ผ่านการเผาเคลือบมาทดสอบความทนทานต่อการกัดกร่อนของกรดเคลือป้ายใต้อุณหภูมิสูง ด้วยการแข็งงานลงในสารละลายที่มีส่วนผสมของโซเดียมคลอไรด์ความเข้มข้นร้อยละ 5 โดยผู้หานัก (เคลือ 5 ส่วน และผู้หากลั่น 95 ส่วน) เป็นเวลา 6 ชั่วโมง ที่อุณหภูมิ 120 องศาเซลเซียส โดยทำการควบคุมค่าความเป็นกรด (pH) ของสารละลายผู้หานักอยู่ระหว่าง 6.5-7.5 หลังจากครบเวลา 6 ชั่วโมง ทำการซึ่งผู้หานักก่อน-หลังการทดสอบเพื่อหาผู้หานักที่หายไป แล้วนำขั้นงานที่ผ่านการทดสอบไปตรวจสอบโครงสร้างจุลภาคของผิวเคลือบด้วยกล้อง OM ทั้งก่อนและหลังการทดสอบการกัดกร่อนภายใต้อุณหภูมิสูงเพื่อเปรียบเทียบความแตกต่าง

บทที่ 4

ผลการทดสอบ และ วิเคราะห์ผลการทดสอบ

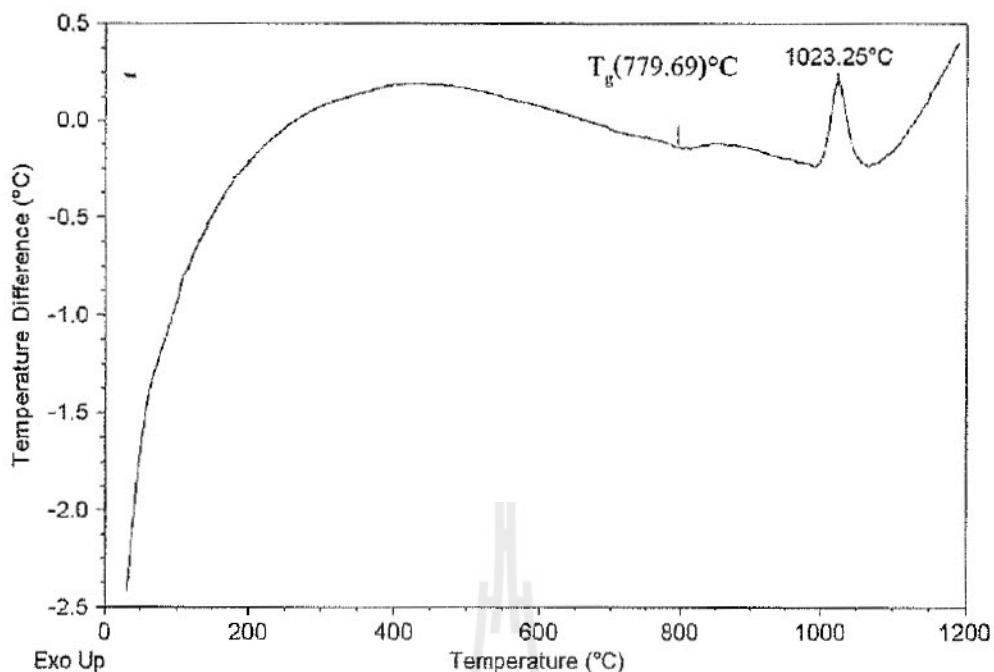
การตรวจสอบการเกิดปฏิกิริยาที่อุณหภูมิต่าง ๆ โดยเครื่อง DTA

ผลการทดสอบเคลือบด้วยการวิเคราะห์ด้วยเครื่อง Differential thermal analysis (DTA)



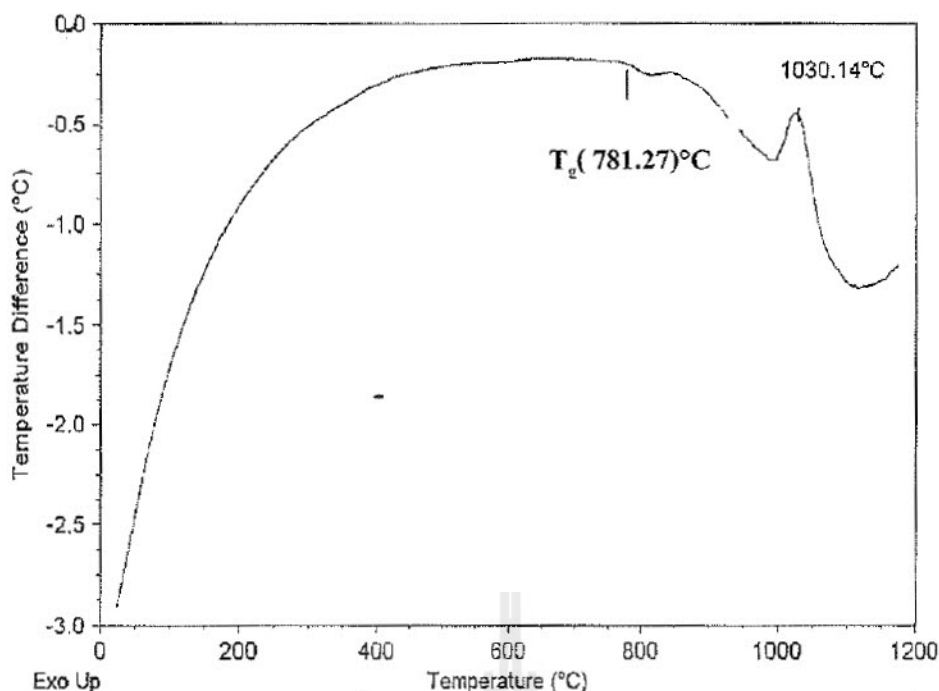
รูปที่ 4.1 การวิเคราะห์ด้วยเครื่อง Differential thermal analysis (DTA) สูตรที่ Z12

จากรูปที่ 4.1 จะเห็นได้ว่าช่วง Glass transition temperature ของเคลือบสูตร Z12 จะอยู่ที่ อุณหภูมิ 776.54°C และ Crystallization temperature ซึ่งเป็นอุณหภูมิที่ทำให้เกิดการตกผลึกจะเห็นได้ จากปฏิกิริยาความร้อนเกิดขึ้นที่อุณหภูมิ 998.42°C



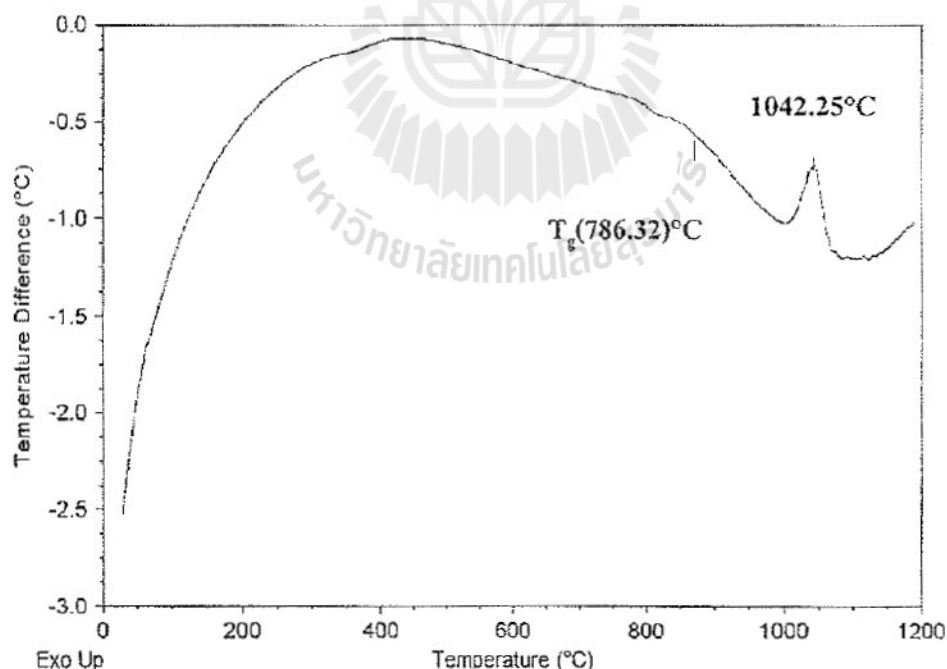
รูปที่ 4.2 การวิเคราะห์ด้วยเครื่อง Differential thermal analysis (DTA) สูตรที่ Z13

จากรูปที่ 4.2 จะเห็นได้ว่าช่วง Glass transition temperature ของเคลือบสูตร Z12 จะอยู่ที่ อุณหภูมิ 779.69°C และ Crystallization temperature ซึ่งเป็นอุณหภูมิที่ทำให้เกิดการตกผลึกจะเห็นได้ จากปฏิกิริยาความร้อนเกิดขึ้นที่อุณหภูมิ 1023.25°C



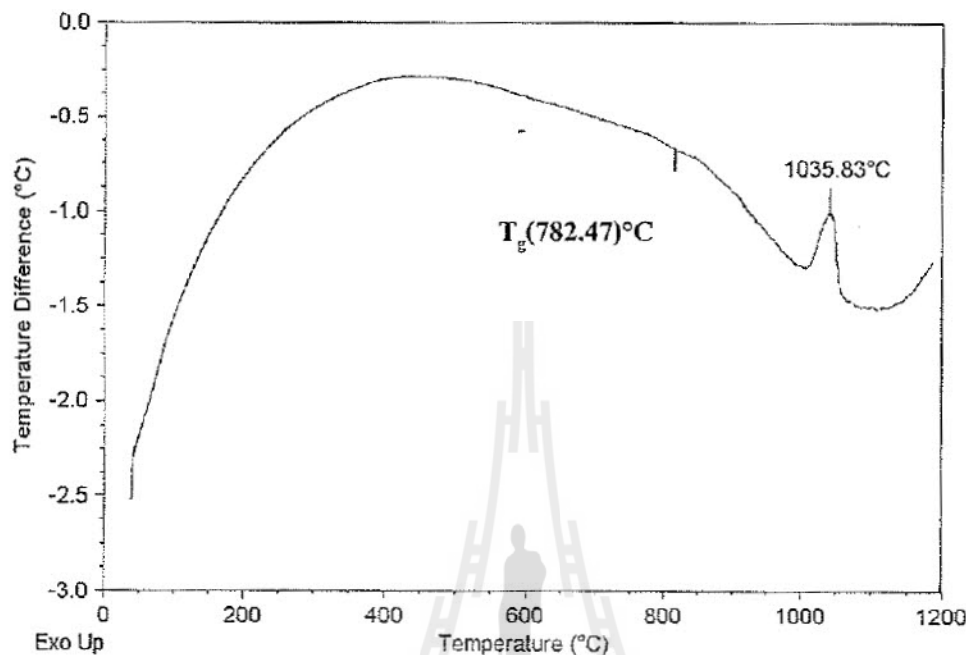
รูปที่ 4.3 การวิเคราะห์ด้วยเครื่อง Differential thermal analysis (DTA) สูตรที่ Z14

จากรูปที่ 4.3 จะเห็นได้ว่าช่วง Glass transition temperature ของเคลือบสูตร Z12 จะอยู่ที่ อุณหภูมิ 781.27°C และ Crystallization temperature ซึ่งเป็นอุณหภูมิที่ทำให้เกิดการตกผลึกจะเห็นได้ จากปฏิกิริยาความร้อนเกิดขึ้นที่อุณหภูมิ 1030.14°C



รูปที่ 4.4 การวิเคราะห์ด้วยเครื่อง Differential thermal analysis (DTA) สูตรที่ Z15

จากรูปที่ 4.4 จะเห็นได้ว่าช่วง Glass transition temperature ของเคลือบสูตร Z12 จะอยู่ที่ อุณหภูมิ 786.32°C และ Crystallization temperature ซึ่งเป็นอุณหภูมิที่ทำให้เกิดการตกผลึกจะเห็นได้ จากปฏิกริยาความร้อนร้อนเกิดขึ้นที่อุณหภูมิ 1042.25°C



รูปที่ 4.5 การวิเคราะห์ด้วยเครื่อง Differential thermal analysis (DTA) สูตรที่ Z16

จากรูปที่ 4.5 จะเห็นได้ว่าช่วง Glass transition temperature ของเคลือบสูตร Z12 จะอยู่ที่ อุณหภูมิ 782.47°C และ Crystallization temperature ซึ่งเป็นอุณหภูมิที่ทำให้เกิดการตกผลึกจะเห็นได้ จากปฏิกริยาความร้อนร้อนเกิดขึ้นที่อุณหภูมิ 1035.83°C

ตารางที่ 4.1 แสดงอุณหภูมิการเกิดปฏิกริยาจาก การวิเคราะห์ด้วย Differential thermal analysis (DTA)

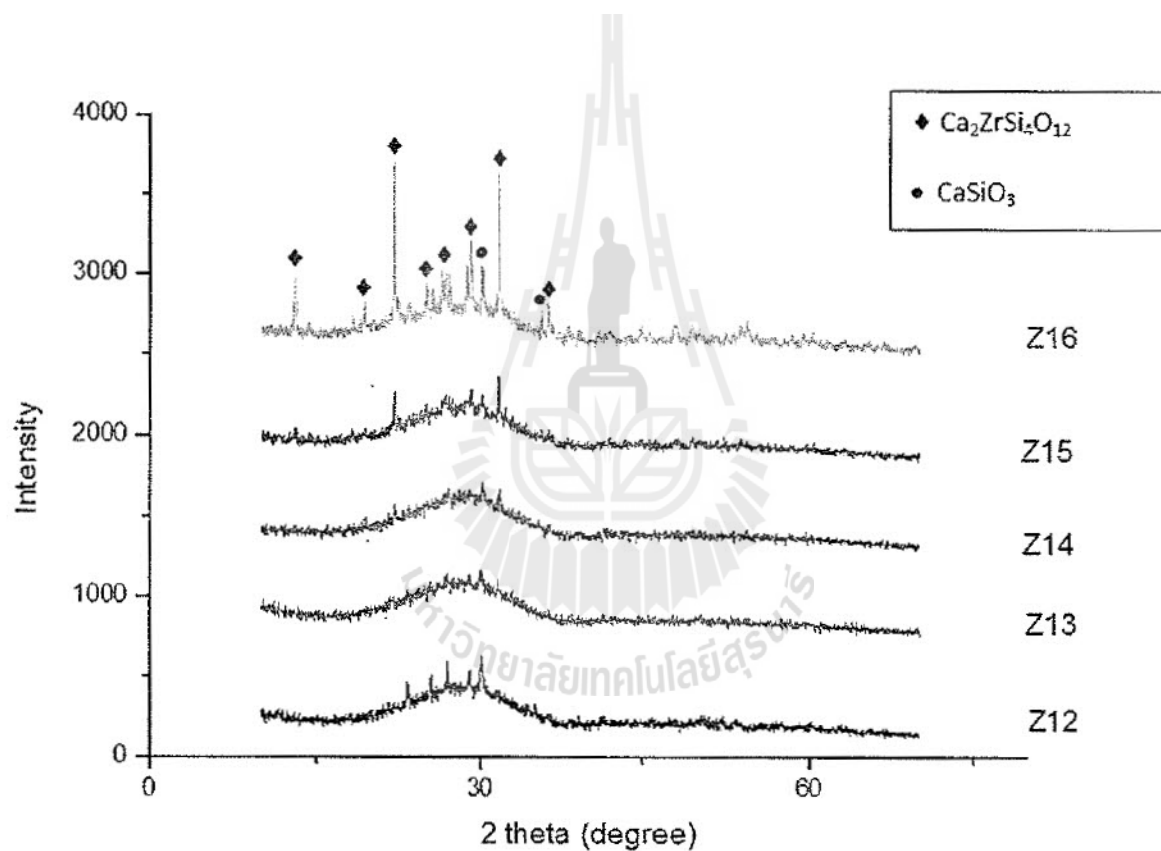
| Glass powder | | |
|--------------|------------------------------|------------------------------|
| ชื่อสาร | T_g ($^{\circ}\text{C}$) | T_p ($^{\circ}\text{C}$) |
| Z12 | 776.54 | 998.42 |
| Z13 | 779.69 | 1023.25 |
| Z14 | 781.27 | 1030.14 |
| Z15 | 786.32 | 1042.25 |
| Z16 | 782.42 | 1035.83 |

T_p = the crystallization temperature , T_g = glass transition temperature

จากผลการตรวจสอบหาปฏิกริยาที่เกิดขึ้นทางความร้อนพบว่าผงเคลือบแต่ละสูตรจะมีอุณหภูมิในช่วง Glass transition ใกล้เคียงกันและอุณหภูมิในการตกผลึก (crystallization temperature) ดังแสดงในตารางด้านบน

ผลจากการตรวจวัสดุภาคจาก X-ray diffraction pattern

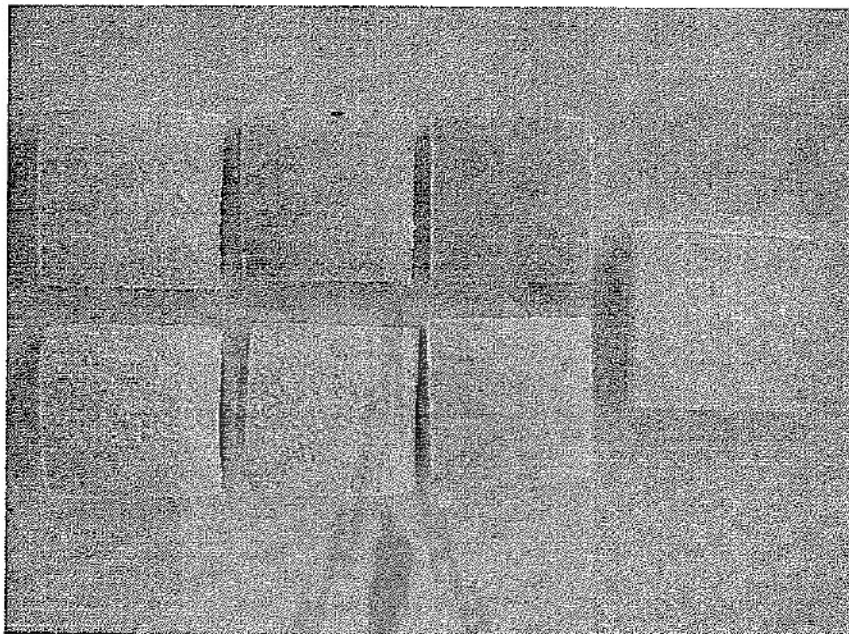
จากการตรวจสอบวัสดุภาคที่เกิดขึ้นบริเวณผิวเคลือบพบว่ามีวัสดุภาคของ Wallastonite และ Calcium Zirconium Silicate เกิดขึ้นที่บริเวณผิวเคลือบซึ่งปริมาณที่เกิดขึ้นยังไม่มากนักโดยอาจจะเกิดจากกระบวนการเผาซึ่งยังไม่ทำให้ผลึกที่เกิดขึ้นมีปริมาณและขนาดที่ใหญ่มากพอยังอาจต้องมีการปรับเปลี่ยนกระบวนการเผาเพื่อให้ได้ปริมาณผลึกมากเพิ่มขึ้น อย่างไรก็ตามพบว่าส่วนผสมเมื่อ ZrO_2 มีปริมาณเพิ่มขึ้นจะมีวัสดุภาคของ Wallastonite และ Calcium Zirconium Silicate เพิ่มขึ้นเช่นกัน สังเกตได้จากความเข้มของพื้นเอ็กซเรย์ที่ปรากฏ ดังรูปที่ 4.6



รูปที่ 4.6 ผลการวิเคราะห์เคลือบด้วยเครื่อง X-Ray Diffraction (XRD) ของสูตร Z16, Z15, Z14, Z13 และ Z12

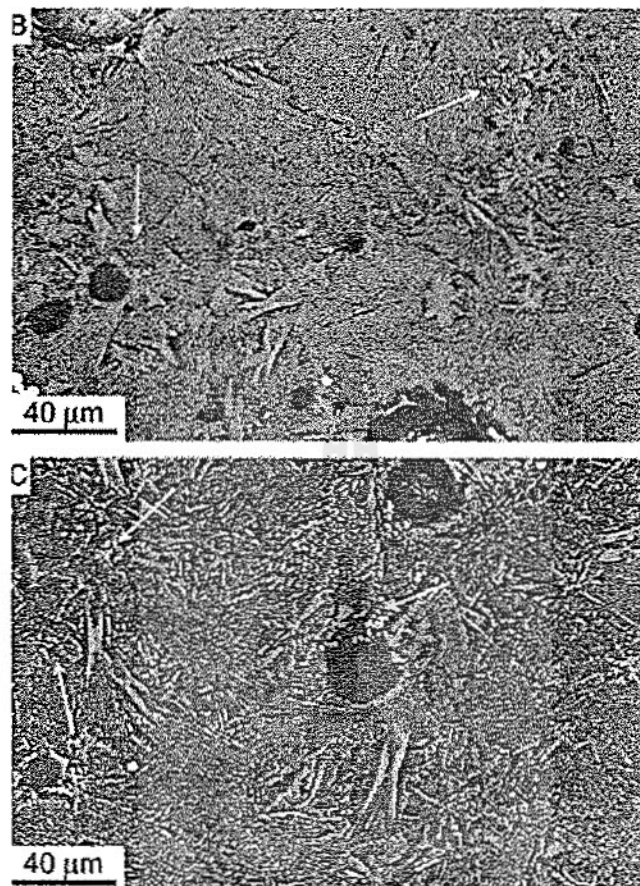
การศึกษาลักษณะโครงสร้างจุลภาคของกระเบื้องเซรามิกชนิดทันกรด

การศึกษาลักษณะเฉพาะของกระเบื้องเซรามิกชนิดทันกรด



รูปที่ 4.7 ภาพของขั้นงานกระเบื้องสูตรต่างๆที่ผ่านการเผาเคลือบแล้ว

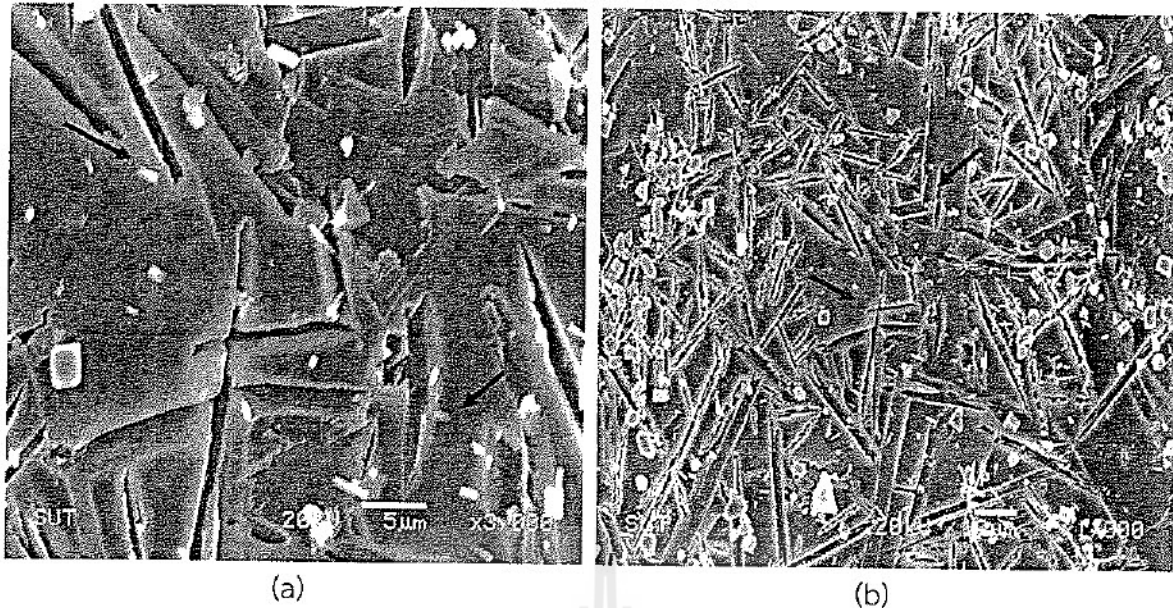
ภาพแสดงลักษณะโครงสร้างจุลภาคของกระเบื้องเซรามิกชนิดทันกรดโดยใช้กล้องจุลทรรศน์
อิเล็กtronแบบส่องการดูของเหลวช้อมูลอ้างอิง(K.J. Hong, J.M. Kim, H.S. Kim)



รูปที่ 4.8 การวิเคราะห์ด้วยกล้อง Scanning Electron Microscope (SEM) ของเหล็กข้อมูลอ้างอิง ([K.J. Hong และคณะ, (2003)])

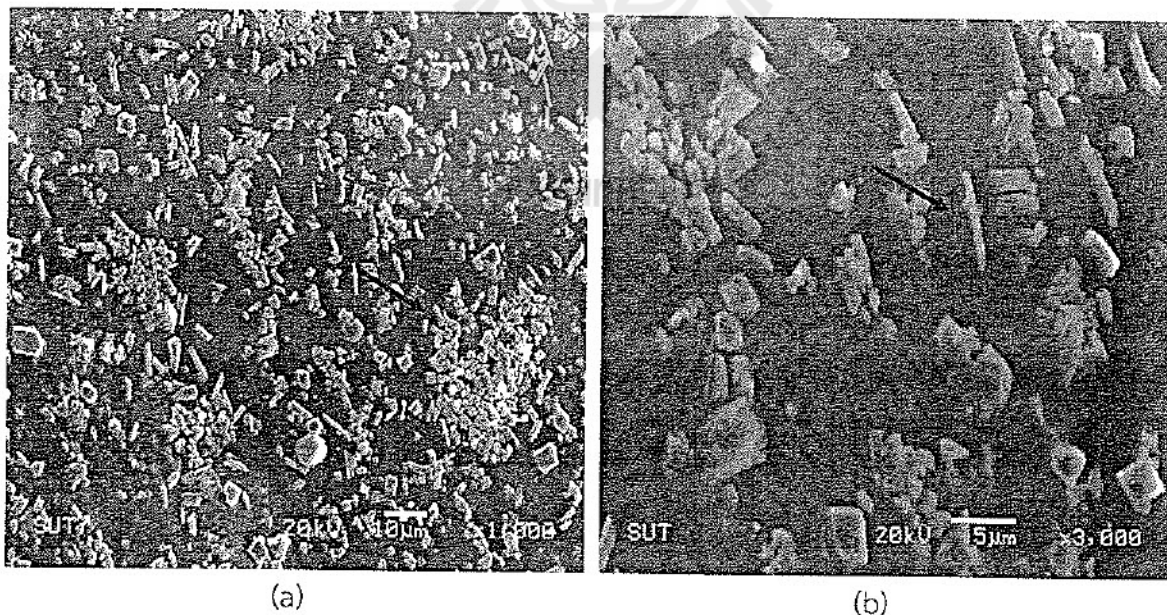
จากรูปที่ 4.8 แสดงให้เห็นถึงผลึก Wollastonite และ Calcium zirconium silicate โดยบริเวณที่ลูกศรชี้จะพบผลึกของ Wollastonite ที่บริเวณผิวน้ำของเคลือบและเกิดการตกผลึกของ Calcium zirconium silicate เป็นเม็ดสีขาวๆ เกิดขึ้นที่บริเวณรูพรุนของผิวเคลือบ

ภาพแสดงลักษณะโครงสร้างจุลภาคของกระเบื้องเซรามิกชนิดทันกรดโดยใช้กล้องจุลทรรศน์อิเล็กตรอนแบบส่องการดู



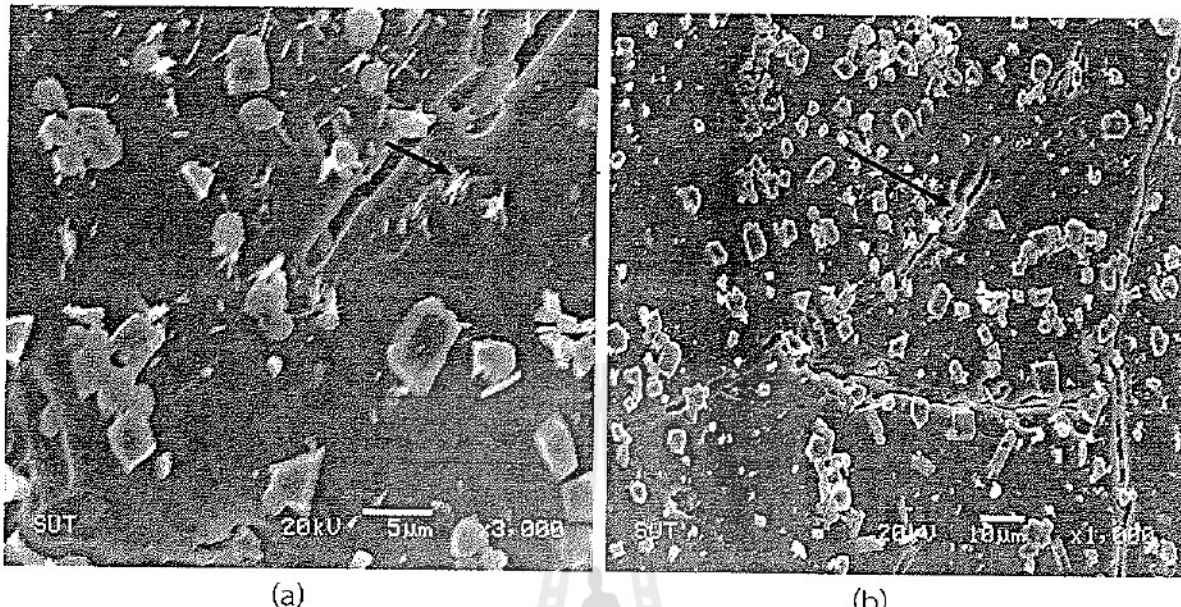
รูปที่ 4.9 Scanning electron microscope (SEM) ก่อนทดสอบความต้านทานการกัดกร่อนของเคลือบสูตร Z13 ที่ไม่ได้ทำการตกผลึก (recrystallization) ที่อุณหภูมิ 1050°C

จากรูปที่ 4.9 (a) และ (b) ที่กำลังขยายต่างกันจะเห็นได้ว่าผิวเคลือบยังหลอมตัวได้ไม่สมบูรณ์ແຕในขณะเดียวกันก็เกิดผลึกรูปเข็มเป็นแห่งขึ้นบริเวณผิวของเคลือบ แต่ยังมีขนาดเล็กมาก ซึ่งเมื่อเปรียบเทียบกับ แหล่งข้อมูลอ้างอิงจะพบว่ามีปริมาณผลึกที่เกิดขึ้นน้อย และผิวเคลือบยังไม่สุกตัวเท่าที่ควร



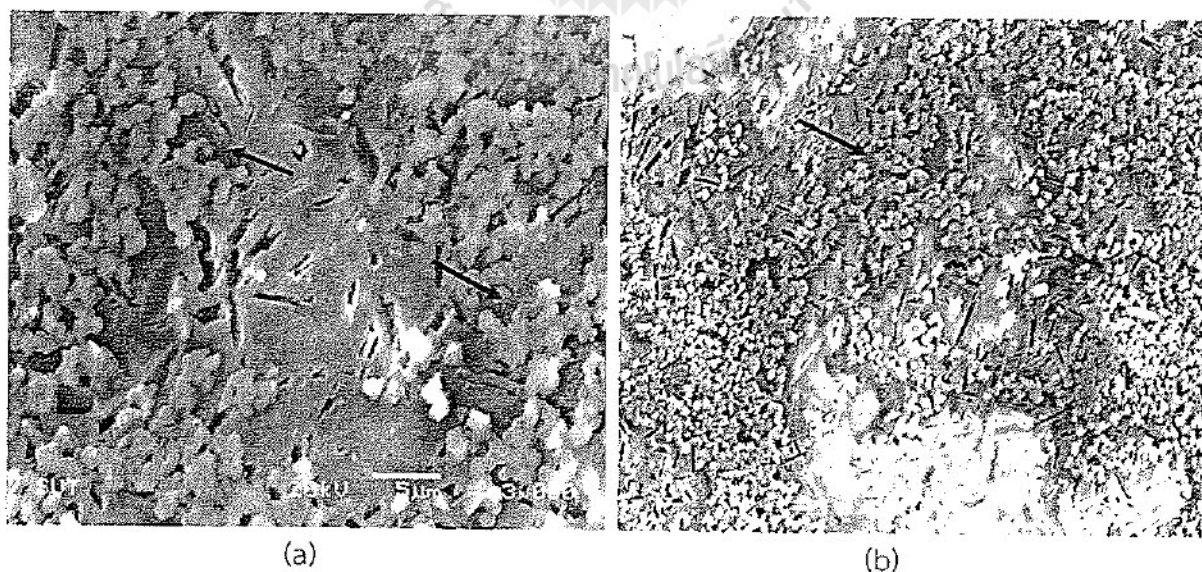
รูปที่ 4.10 Scanning electron microscope (SEM)หลังทดสอบความต้านทานการกัดกร่อนของเคลือบสูตร Z13 ที่ไม่ได้ทำการตกผลึก(recrystallization) ที่อุณหภูมิ 1050°C

จากรูปที่ 4.10 (a) และ (b) จะพบว่าหลังจากทำการทดสอบความด้านทานการกัดกร่อนของเคลือบจะเห็นว่าบริเวณที่ไม่ถูกการกัดกร่อนจากการดัดแปลงจะเป็นผลึกในขณะที่เนื้อเคลือบที่เป็นแก้วนั้นถูกกัดกร่อนลงไป เมื่อวิเคราะห์จากภาพกล้องขยายสูงขึ้นจะเห็นได้ว่ากระบวนการตกผลึกนั้นจะเกิดจากบริเวณผิวน้ำแล้วค่อยๆ เป็นผลึกเติบโตเข้าไปในเนื้อของเคลือบ



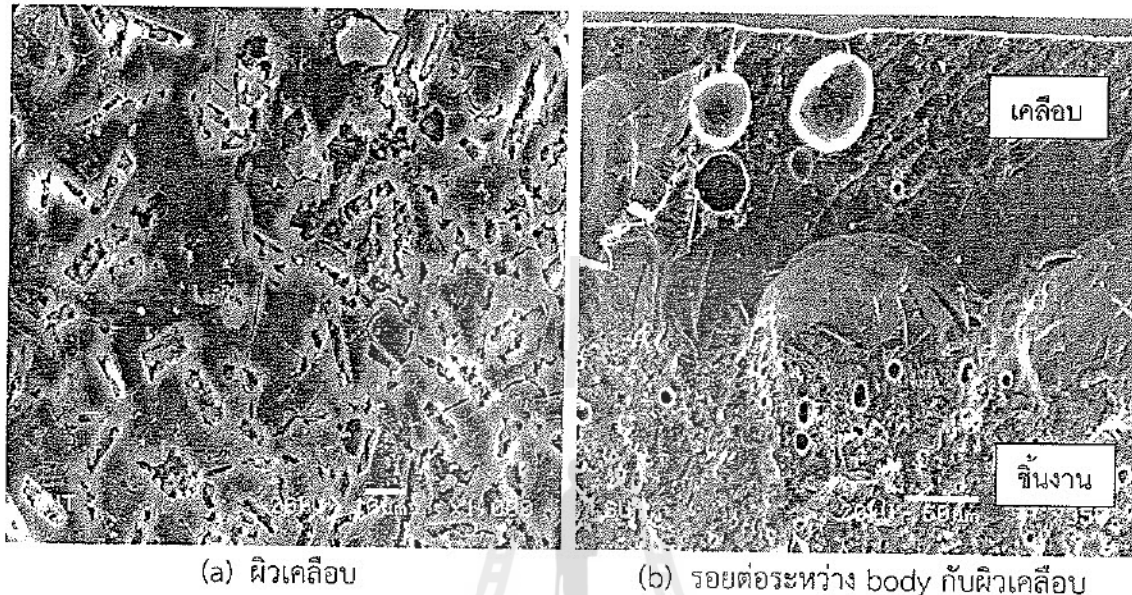
รูปที่ 4.11 Scanning electron microscope (SEM) ก่อนทดสอบความด้านทานการกัดกร่อนของเคลือบสูตร Z14 ที่ไม่ได้ทำการตกผลึก (recrystallization) ที่อุณหภูมิ 1050°C

จากรูปที่ 4.11 ของสูตร Z14 ทั้งภาพ (a) และ (b) จะเห็นได้ว่าผิวเคลือบเริ่มจะมีการหลوبตัวที่ดีขึ้น แต่ยังคงพบว่าเกิดรอยร้าวขึ้นอันเนื่องมาจากค่าสัมประสิทธิ์การขยายตัวทางความร้อนที่แตกต่างกันระหว่างผิวเคลือบกับชั้นงานกระเบื้องและจะพบว่าเกิดเป็นผลึกรูปเป้มของ Wollastonite ขึ้นที่บริเวณผิวน้ำของเคลือบ เช่นเดียวกัน



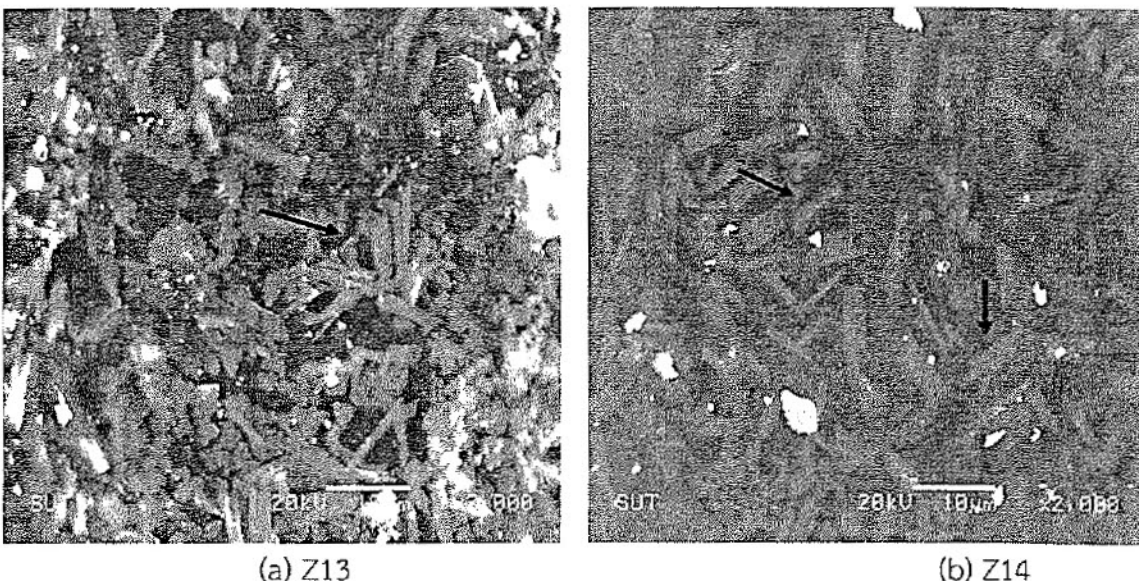
รูปที่ 4.12 Scanning electron microscope (SEM) หลังทดสอบความด้านทานการกัดกร่อนของเคลือบสูตร Z14 ที่ไม่ได้ทำการตกผลึก (recrystallization) ที่อุณหภูมิ 1050°C

จากรูปที่ 4.12 ทั้ง (a) และ (b) จะพบว่าเนื้อเคลือบที่เป็นแก้วถูกกัดกร่อนลงไปมากคงเหลือแต่ส่วนที่เป็นผลึกและยังไม่เกิดการเติบโตของผลึกเป็นรูปร่างที่ชัดเจนซึ่งเมื่อเปรียบเทียบกับรูปที่ 4.11 ทั้ง (a) และ (b) นั้นจะเห็นได้ว่าการทำการทำการทำเผาเคลือบนั้นจะให้มีความหนาแน่นที่ดียังคงทำได้ยากเนื่องจากความหนืดของเคลือบเป็นอุปสรรคต่อการทำจำจักรูพรุนที่เกิดขึ้นในเนื้อเคลือบที่เป็นแก้ว



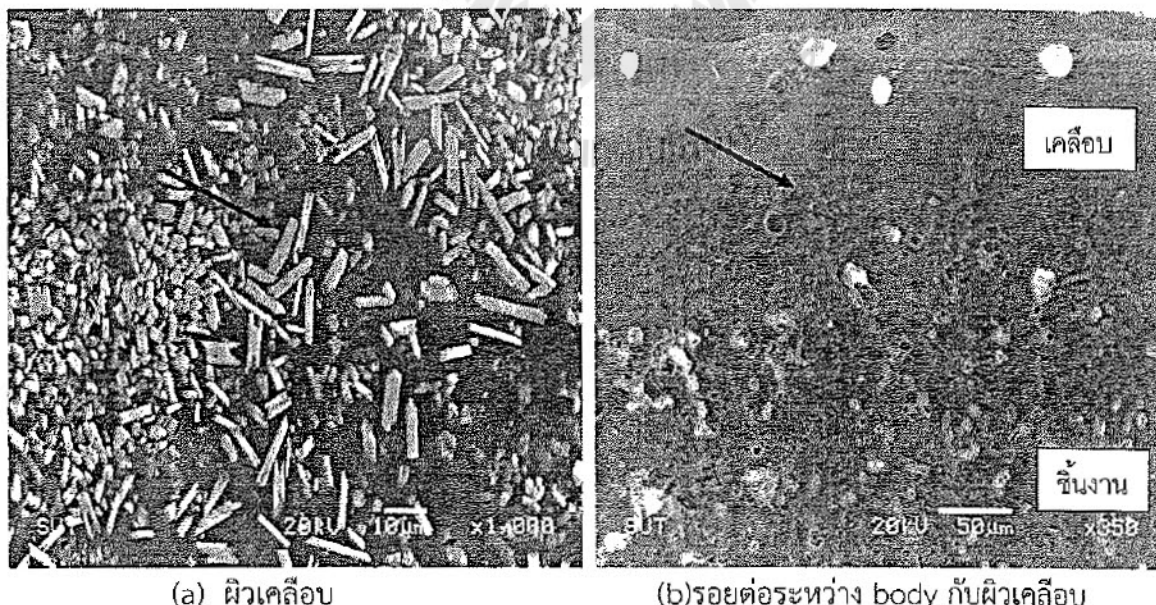
รูปที่ 4.13 Scanning Electron Microscope (SEM) โดยการทำการทำทดสอบความด้านทานการกัดกร่อนของสูตร Z12 ที่ทำการตกผลึก (recrystallization) ที่อุณหภูมิ 1050°C เป็นเวลา 30 นาที

จากรูปที่ 4.13 ภาพ (a) เป็นบริเวณผิวเคลือบหลังถูกทดสอบความทานการกัดกร่อนจากการ และ (b) เป็นรอยต่อระหว่างผิวเคลือบกับชิ้นงานจะพบว่าเนื่องจากเคลือบสูตร Z12 เมื่อทำการเผาแล้วเคลือบเกิดการไม่สุกตัวทำให้มีการทำการทำทดสอบด้วยกรดจึงเกิดการกัดกร่อนบริเวณผิวเคลือบ และจะพบว่ายังคงมีรูพรุนเกิดขึ้นทั้งในเนื้อเคลือบ และบริเวณรอยต่อของเคลือบกับชิ้นงาน



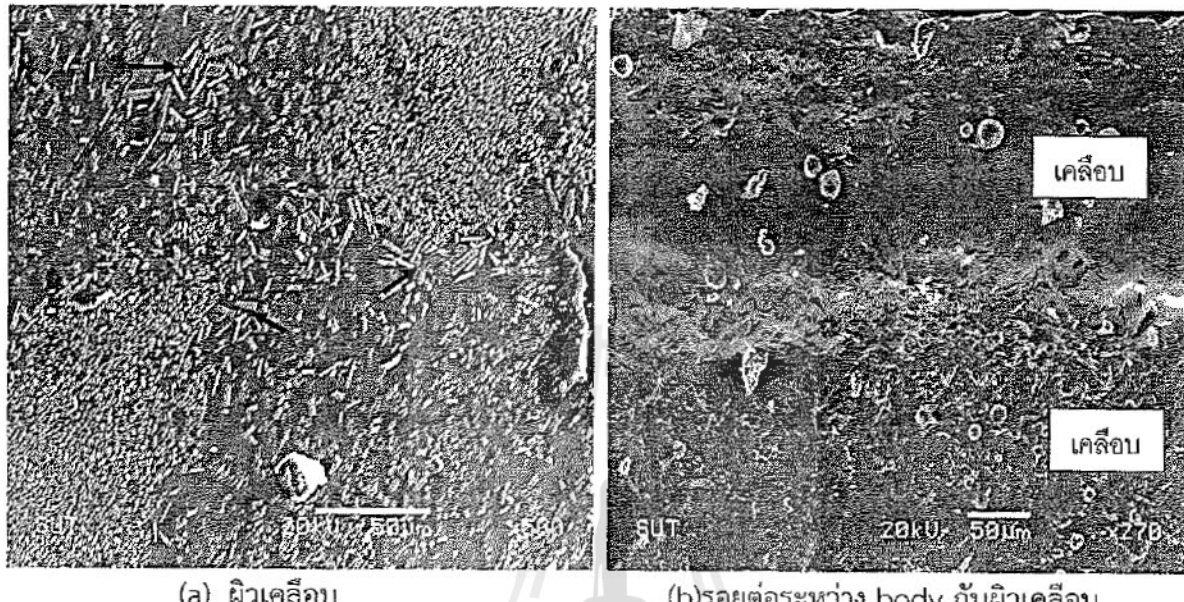
รูปที่ 4.14 SEM ของผิวเคลือบกระเบื้องที่ทำการเคลือบด้วยเคลือบสูตร Z13 (a) และ Z14 (b) ที่ทำการตกผลึกที่อุณหภูมิ 1050°C เป็นเวลา 30 นาที ก่อนทำการทดสอบความต้านทานการกัดกร่อน

จากรูปที่ 4.14 ภาพ SEM แสดงโครงสร้างจุลภาคของกระเบื้องเซรามิกชนิดทนกรด เมื่อทำการตกผลึกที่อุณหภูมิ 1050°C เป็นเวลา 30 นาทีจะพบความแตกต่างที่ชัดเจนบริเวณผิวเคลือบเมื่อเปรียบเทียบกับชิ้นงานเคลือบที่ไม่ได้ทำการตกผลึกที่อุณหภูมิเดียวกัน โดยเคลือบที่ทำการตกผลักนั้นจะเกิดผลึกซึ้งชัดเจนและมีขนาดใหญ่กว่าเคลือบที่ไม่ได้ทำการตกผลักซึ่งแสดงให้เห็นถึงกระบวนการเผาเคลือบที่มีผลต่อการตกผลึกและขนาดของผลึก



รูปที่ 4.15 Scanning Electron Microscope (SEM) ในการทำการทดสอบความต้านทานการกัดกร่อนของสูตร Z13 ที่ทำการตกผลึก (recrystallization) ที่อุณหภูมิ 1050°C เป็นเวลา 30 นาที

จากรูปที่ 4.15 ภาพ SEM แสดงโครงสร้างจุลภาคของกระเบื้องเซรามิกชนิดทนกรด ในการทำ Chemical Etchingสามารถอธิบายได้ว่า (a) ผิวเคลือบ เคลือบมีการสกัดตัวดี จึงสามารถเห็นผลึกบนผิวเคลือบ ได้อย่างชัดเจนซึ่งมีลักษณะเป็นรูปเข็มของ Wollastonite (b) รอยต่อระหว่าง body กับผิวเคลือบ จะพบว่า เคลือบสามารถยึดติดกับ ชั้นผิว body ได้ดี แต่จะสังเกตเห็นว่ามีรูพรุนเพียงเล็กน้อย



รูปที่ 4.16 Scanning Electron Microscope (SEM) ในการทำการทดสอบความด้านทานการกัดกร่อน ของสูตร Z14 ที่ทำการตกผลึก (recrystallization) ที่อุณหภูมิ 1050°C เป็นเวลา 30 นาที

จากรูปที่ 4.16 ภาพ SEM แสดงโครงสร้างจุลภาคของกระเบื้องเซรามิกชนิดทนกรด ในการทำ Chemical Etchingสามารถอธิบายได้ว่าที่ผิวเคลือบ จะสังเกตเห็นว่า ผลึกเข็ม ที่ปรากฏไม่ชัดเจน เนื่องจากเคลือบไม่สกัดตัวและรอยต่อระหว่าง body กับผิวเคลือบ จะพบว่าเคลือบสามารถยึดติดกับ ชั้นผิว body ได้ดี แต่จะมีรูพรุนเกิดขึ้นเนื่องจากเคลือบมีความหนืด และแรงตึงผิวสูง จึงเกิดเป็นฟองอากาศที่ไม่สามารถหลุดออกໄไปในช่วงการหลอมตัว ซึ่งโดยทั่วไปแล้วเคลือบทุกชนิดจะมีฟองอากาศอยู่ภายในซึ่งเป็น ฟองอากาศเล็ก ๆ อยู่มาก many ซึ่งไม่ได้เป็นปัญหาถ้าเคลือบมากมายนัก แต่ถ้าฟองอากาศนั้นมีขนาดใหญ่ หรืออยู่ใกล้ผิวเคลือบมาก มันก็จะเป็นตัวทำให้เกิดปัญหาถ้าเคลือบได้เช่นความแข็งแรงลดลง

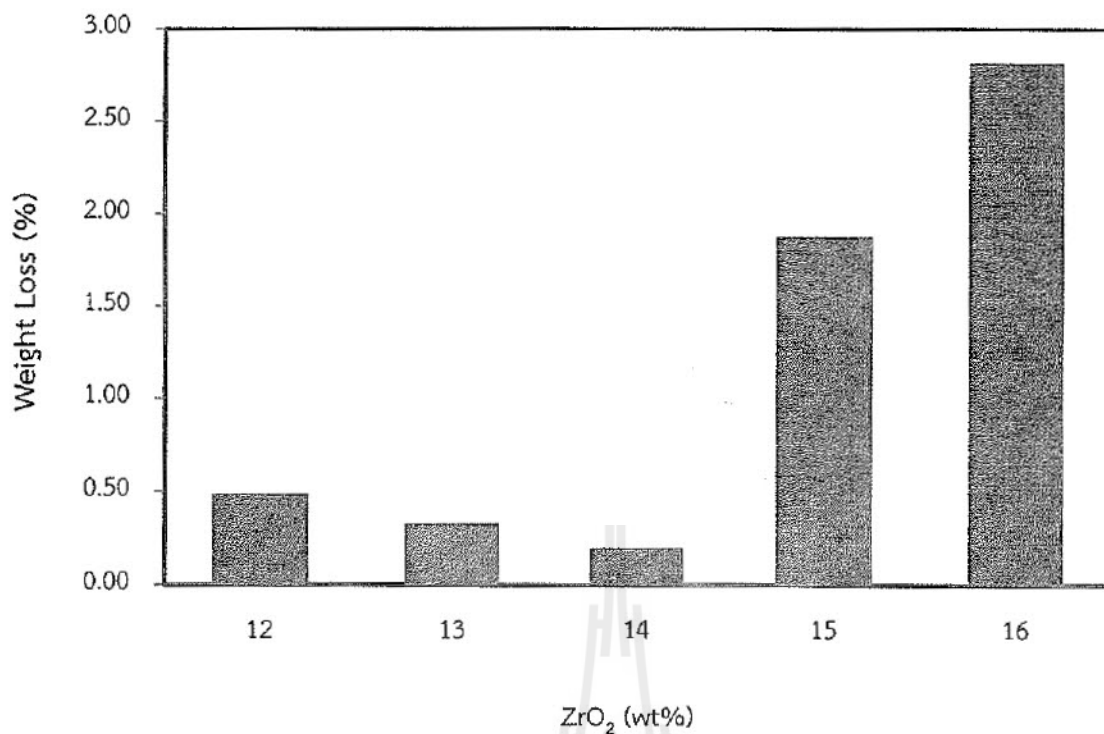
หมายเหตุ : เคลือบของสูตร Z15 และเคลือบของสูตร Z16 จะมีลักษณะคล้ายกับเคลือบของสูตร Z12 เนื่องจากเคลือบไม่สกัดตัว เพราะมีปริมาณของเซอร์โคโนเนียมมากเกินไปจึงทำให้เคลือบมีความทนไฟสูง จึงไม่หลอมตัวแล้วเกิดการตกผลึกในช่วงอุณหภูมิที่ทำการเผา

ผลการทดสอบการกัดกร่อนกรดเกลือกภายในได้อุณหภูมิสูง

นำขั้นงานที่ผ่านการเผาเคลือบมาทดสอบความทนทานต่อการกัดกร่อนของกรดเกลือกภายในได้อุณหภูมิสูง ด้วยการแข็งขันลงในสารละลายที่มีส่วนผสมของโซเดียมคลอไรต์ความเข้มข้นร้อยละ 5 โดยนำน้ำหนัก (เกลือ 5 ส่วน และน้ำหนักลับ 95 ส่วน) เป็นเวลา 6 ชั่วโมง ที่อุณหภูมิ 120 องศาเซลเซียส โดยทำการควบคุมค่าความเป็นกรด (pH) ของสารละลายน้ำเกลืออยู่ระหว่าง 6.5-7.5 หลังจากครบเวลา 6 ชั่วโมง ทำการซึ่งน้ำหนักก่อน-หลังการทดสอบเพื่อทราบน้ำหนักที่หายไป แล้วนำขั้นงานที่ผ่านการทดสอบไปตรวจสอบโครงสร้างจุลภาคของผิวเคลือบด้วยกล้อง OM ทั้งก่อนและหลังการทดสอบการกัดกร่อนภายในได้อุณหภูมิสูงเพื่อเปรียบเทียบความแตกต่าง ได้ผลดังแสดงในตารางที่ 4.2

ตารางที่ 4.2 น้ำหนักที่หายไปก่อนทำการทดสอบ และหลังทำการทดสอบ ที่อุณหภูมิ 120 องศาเซลเซียส

| ลำดับ ขั้นงาน | น้ำหนักก่อน แข็ง(g) | น้ำหนักหลัง แข็ง (g) | น้ำหนักที่ หายไป(g) | น้ำหนักที่ หายไป(%) |
|------------------|------------------------|-------------------------|------------------------|------------------------|
| สูตร Z12 | 38.546 | 38.358 | 0.188 | 0.49 |
| สูตร Z13 | 38.641 | 38.512 | 0.129 | 0.33 |
| สูตร Z14 | 38.522 | 38.445 | 0.077 | 0.20 |
| สูตร Z15 | 38.301 | 37.58 | 0.721 | 1.88 |
| สูตร Z16 | 38.314 | 37.233 | 1.081 | 2.82 |



รูปที่ 4.17 แสดงผลทดสอบความต้านทานการกัดกร่อนจากการทดลองของเคลือบสูตรต่างๆ ที่อุณหภูมิ 120 องศาเซลเซียส

สารเคลือบสูตร Z14 จะมีความต้านทานการกัดกร่อนจากการไดร์สูดโดยเมื่อพิจารณาประกอบจากผู้หนักที่หายไปมีค่าน้อยที่สุด ดังแสดงในตารางที่ 4.2 และ กราฟรูปที่ 4.17 และจากภาพถ่ายของกล้อง Scanning Electron Microscope ในรูปที่ 4.16 จะพบว่าเคลือบมีการยึดเกาะกับผิวของกระเบื้องได้เป็นอย่างดี และมีผลึกของ Wollastonite มีปริมาณรูพรุนน้อยเมื่อเปรียบเทียบกับเคลือบในสูตร Z12, Z13, Z15 และ Z16 ที่เคลือบไม่สุกตัว ซึ่งความสามารถในการทนทานการกัดกร่อนของผิวเคลือบนั้นจะมาจากแรงยึดเหนี่ยวระหว่างผิวเคลือบกับตัวกระเบื้องเป็นหลัก เมื่อเคลือบมีการยึดเกาะกับตัวกระเบื้องได้ดีจึงทำให้มีความสามารถในการทนทานการกัดกร่อนได้ดี และเมื่อพิจารณาจากโครงสร้างจุลภาคของเคลือบที่ไม่ได้ทำการตกผลึกที่อุณหภูมิ 1050°C จะเห็นความแตกต่างอย่างชัดเจน เพราะเคลือบที่ไม่มีผลึกเกิดขึ้นนั้นจะเกิดการกัดกร่อนเอาเนื้อเคลือบออกไป เนื่องจากผลึกที่เกิดขึ้นนั้นสามารถทนทานการกัดกร่อนของกรดได้เป็นอย่างดี

บทที่ 5

สรุปผลการทดลอง

การศึกษาผลของตัวแปรต่าง ๆ ได้แก่ ปริมาณของ CaO , ZrO_2 และ SiO_2 ที่อยู่ในสารเคลือบที่ส่งผลต่อสมบัติทางเคมีของระบบน้ำเงินเซรามิกชนิดทนกรด รวมถึงการศึกษาอุณหภูมิการเผาเคลือบและแพนนิกที่เหมาะสมกับวัสดุกระเบื้องเซรามิกชนิดทนกรด รวมทั้งการศึกษาสมบัติทางเคมี และลักษณะเฉพาะของระบบน้ำเงินเซรามิกชนิดทนกรด ในการทดลองพบว่าสูตรเคลือบต่าง ๆ มีคุณสมบัติที่สามารถสรุปผลการทดลองได้ดังนี้

1. ผลจากการบันการเผาเคลือบที่แตกต่างกันแสดงให้เห็นถึงโครงสร้างจุลภาคที่แตกต่างกันของเคลือบในแต่ละสูตรโดยจะเห็นได้จากภาพถ่าย SEM ที่แสดงให้เห็นถึงการตกผลึกซึ่งส่งผลต่อความสามารถในการด้านทานความกัดกร่อนของผิวเคลือบได้เป็นอย่างดี

2. เมื่อเติม CaO ลงในเนื้อเคลือบที่มีองค์ประกอบของ SiO_2 เป็นหลักจะสามารถทนต่อการกัดกร่อนจากกรดได้แต่ย่างไรก็ตามหากมีการเติม ZrO_2 ในปริมาณที่ไม่เกินร้อยละ 14 โดยมีผู้นัก [V.Cannillo และคณะ,(2009)] ที่สามารถทำให้ด้านทานการกร่อนจากการเพิ่มขึ้น เนื่องจาก CaO , ZrO_2 และ SiO_2 จะทำให้เกิดสารประกอบใหม่ในเคลือบ ได้แก่ Wollastonite (CaSiO_3) และ Calcium zirconium silicate ($\text{Ca}_2\text{ZrSi}_{12}$, $\text{Ca}_3\text{ZrSi}_2\text{O}_9$, $\text{CaZrSi}_2\text{O}_9$ และ $\text{Ca}_{1.2}\text{Si}_{4.3}\text{Zr}_{0.2}\text{O}_8$) ในระบบ $\text{CaO-ZrO}_2-\text{SiO}_2$ system[K.J.Hong และคณะ ,(2003)] แต่ถ้ามีปริมาณ CaO มาก จะทำให้เคลือบจะเดือดเป็นฟองได้ง่าย ทำให้เกิดรูพรุน ซึ่งด้วยอย่างของสูตรเคลือบ Z12 จะเกิดรูพรุนของเคลือบมากโดยปริมาณ CaO ในปริมาณที่ไม่เกินร้อยละ 35 โดยมีผู้นัก

3. เมื่อทำการทดสอบความด้านทานต่อการกัดกร่อนจากการที่อุณหภูมิ 120 องศาเซลเซียส จะพบว่า เคลือบของสูตร Z14 มีความด้านทานต่อการกัดกร่อนจากการได้ดีที่สุด เนื่องจากมีผู้นักที่หายไปหลังทดสอบ มีค่าน้อยที่สุด คือ เท่ากับ 0.20 กรัม สามารถพิจารณาได้จาก ตารางแสดงมีผู้นักที่หายไปก่อนทำการทดสอบ และหลังทำการทดสอบ

4. จากภาพถ่าย Scanning electron microscope (SEM) พบว่าผลึกที่มีลักษณะรูปเป็นรูปเข็มจะมีขนาดเล็ก และไม่โต ส่งผลต่อความด้านทานการกัดกร่อนของกรด เพราะผลึกรูปเข็ม Wollastonite ซึ่งมีคุณสมบัติต้านทานการกัดกร่อนได้ดี และเป็นวัฏจักร ที่ต้องการให้เกิดขึ้นโดยรอยต่อระหว่าง เนื้อ body กับผิวเคลือบ สามารถยึดกันได้เป็นอย่างดี ซึ่งจะส่งผลให้กรดไม่สามารถซึมผ่านชั้นเคลือบเข้าเนื้อ body ได้

เอกสารอ้างอิง

1. K.J. Hong, J.M. Kim, H.S. Kim, Microstructure and properties of CaO-ZrO₂-SiO₂ glass-ceramics prepared by sintering, *Journal of the European Ceramic Society*, 23 (2003) 2193–2202
2. G. Bolelli, V. Cannillo, L. Lusvarghi, T. Manfredini, C. Siligardi, C. Bartuli, A. Loreto, T. Valente, Plasma-sprayed glass-ceramic coatings on ceramic tiles: microstructure, chemical resistance and mechanical properties, *Journal of the European Ceramic Society*, 25(11) 2005, 1835-1853
3. M. Piispanen a, J. Määttä b, S. Arevac, A.-M. Sjöberg b, M. Hupaa, L. Hupaa, Chemical resistance and cleaning properties of coated glazed surfaces, *Journal of the European Ceramic Society* 29 (2009) 1855–1860
4. V. Cannillo, L. Esposito, E. Rambaldi, A. Sola, A. Tucci, Microstructural and mechanical changes by chemical ageing of glazed ceramic surfaces, *Journal of the European Ceramic Society* 29 (2009) 1561–1569
5. C. Siligardi, P. Miselli, L. Lusvarghi, M. Reginelli, Influence of CaO-ZrO₂-Al₂O₃- SiO₂ glas-ceramic frits on the technological properties of porcelain stoneware bodies, *Ceramic International*, 37(2011) 1851-1858
6. ASTM B 117 Practice for operating salt spray (Fog) apparatus

